

couleurs d'appareil et élémentaires du sRGB l'espace de couleur pour D65, $Y_w=100$

Code	X100	Y100	Z100	x	y	z	h_{xy}	i_d, λ_d	i_c, λ_c
R _{d,sRGB}	41.24	21.26	1.93	0.64	0.33	0.03	0.1	41 606	17 486
Y _{d,sRGB}	76.99	92.78	13.85	0.4193	0.5052	0.0754	58.8	33 565	11 459
G _{d,sRGB}	35.75	71.51	11.91	0.3	0.6	0.0999	92.6	28 544	-1 544c
C _{d,sRGB}	53.8	78.73	106.95	0.2246	0.3287	0.4465	180.1	17 486	41 606
B _{d,sRGB}	18.04	7.21	95.03	0.1499	0.0599	0.7899	238.8	11 459	33 565
M _{d,sRGB}	59.28	28.48	96.97	0.3209	0.1541	0.5249	272.7	-1 544c	28 544
R _{e,sRGB}	37.43	19.19	6.44	0.5935	0.3043	0.1021	354.9	44 623	17 487
Y _{e,sRGB}	58.8	63.38	9.13	0.4478	0.4826	0.0695	48.6	34 570	14 470
G _{e,sRGB}	38.98	66.27	49.0	0.2526	0.4296	0.3176	120.7	21 508	-1 508c
B _{e,sRGB}	26.41	27.25	87.68	0.1868	0.1927	0.6203	227.2	14 471	34 570

3-000030-L0

TF420-1N_1

couleurs d'appareil et élémentaires du sRGB l'espace de couleur pour D65, $Y_w=100$

Code	Y100	A100	B100	C _{AB}	a	b	h_{AB}	i_d, λ_d	i_c, λ_c
R _{d,sRGB}	21.26	21.02	8.48	22.67	1.9393	-0.0363	21.9	41 606	17 486
Y _{d,sRGB}	92.78	-11.18	34.87	36.62	0.8298	-0.0597	107.7	33 565	13 467
G _{d,sRGB}	71.51	-32.21	26.38	41.63	0.4999	-0.0666	140.6	29 545	-1 545c
C _{d,sRGB}	78.73	-21.02	-8.48	22.67	0.6833	-0.5433	201.9	17 486	43 618
B _{d,sRGB}	7.21	11.18	-34.87	36.62	2.4999	-5.2665	287.7	11 458	32 562
M _{d,sRGB}	28.48	32.21	-26.38	41.63	2.0814	-1.3618	320.6	-1 533c	26 533
R _{e,sRGB}	19.19	19.19	5.78	20.04	1.9502	-0.1343	16.7	44 621	17 487
Y _{e,sRGB}	63.38	-1.43	23.95	23.99	0.9278	-0.0576	93.4	34 570	14 474
G _{e,sRGB}	66.27	-24.01	9.26	25.74	0.5881	-0.2957	158.8	23 518	-1 518c
B _{e,sRGB}	27.25	0.51	-23.2	23.2	0.9694	-1.2869	271.2	14 470	33 567

3-000030-L0

TF420-3N_1

couleurs d'appareil et élémentaires du sRGB l'espace de couleur pour D65, $Y_w=100$

Code	L*100	a*100	b*100	C* _{ab}	a'	b'	h_{ab}	i_d, λ_d^*	i_c, λ_c^*
R _{d,sRGB}	53.24	80.07	67.12	104.48	0.2732	-0.0376	39.9	-1 479c	15 479
Y _{d,sRGB}	97.14	-21.55	94.46	96.88	0.2058	-0.0444	102.8	32 562	14 470
G _{d,sRGB}	87.74	-86.16	83.16	119.75	0.1738	-0.046	136.0	27 536	9 449
C _{d,sRGB}	91.11	-48.07	-14.12	50.11	0.1929	-0.0927	196.3	16 484	-1 484c
B _{d,sRGB}	32.32	79.14	-107.82	133.75	0.2971	-0.1976	306.2	12 461	28 544
M _{d,sRGB}	60.33	98.22	-60.82	115.52	0.2796	-0.1259	328.2	-1 524c	24 524
R _{e,sRGB}	50.92	78.06	37.4	86.56	0.2737	-0.0582	25.5	-1 481c	16 481
Y _{e,sRGB}	83.64	-3.43	84.22	84.29	0.2136	-0.0439	92.3	33 569	14 472
G _{e,sRGB}	85.14	-64.44	21.1	67.81	0.1835	-0.0757	161.8	22 512	-1 512c
B _{e,sRGB}	59.21	2.14	-56.39	56.43	0.2168	-0.1236	272.1	14 472	33 569

3-000030-L0

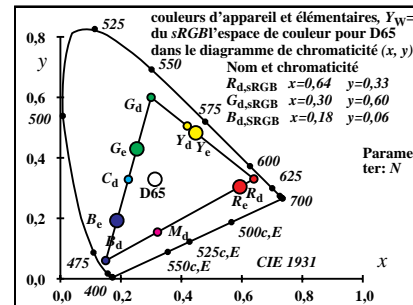
TF420-5N_1

couleurs d'appareil et élémentaires du sRGB l'espace de couleur pour D65, $Y_w=100$

CodeD65	L*100	a*100	b*100	C* _{ab}	a'	b'	h_{ab}	i_d, λ_d^*	i_c, λ_c^*
R _{d,sRGB}	53.24	80.09	67.2	104.55	0.2732	-0.0376	39.9	-1 479c	15 479
Y _{d,sRGB}	97.14	-21.55	94.48	96.9	0.2059	-0.0444	102.8	32 562	14 470
G _{d,sRGB}	87.74	-86.18	83.18	119.77	0.1739	-0.046	136.0	27 536	9 449
C _{d,sRGB}	91.11	-48.08	-14.12	50.11	0.1929	-0.0927	196.3	16 484	-1 484c
B _{d,sRGB}	32.32	79.19	-107.85	133.8	0.2972	-0.1976	306.2	12 461	28 544
M _{d,sRGB}	60.33	98.23	-60.82	115.54	0.2797	-0.1259	328.2	-1 524c	24 524
R _{e,sRGB}	50.92	78.08	37.42	86.59	0.2737	-0.0582	25.6	-1 481c	16 481
Y _{e,sRGB}	83.64	-3.43	84.24	84.31	0.2137	-0.0439	92.3	33 569	14 472
G _{e,sRGB}	85.14	-64.45	21.11	67.82	0.1835	-0.0757	161.8	22 512	-1 512c
B _{e,sRGB}	59.21	2.14	-56.4	56.44	0.2168	-0.1236	272.1	14 472	33 569

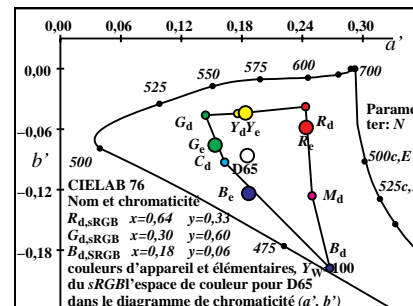
3-000030-L0

TF420-7N_1



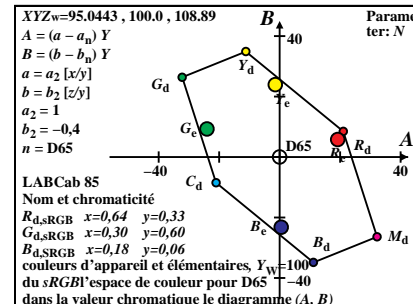
3-000030-L0

TF421-1N_1



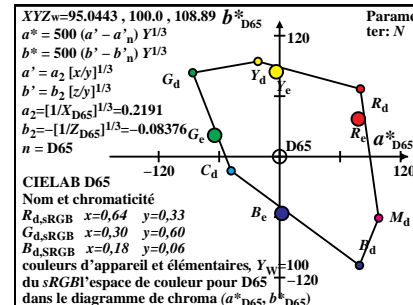
3-000030-L0

TF421-3N_1



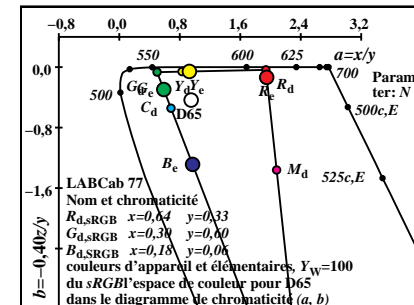
3-000030-L0

TF421-5N_1



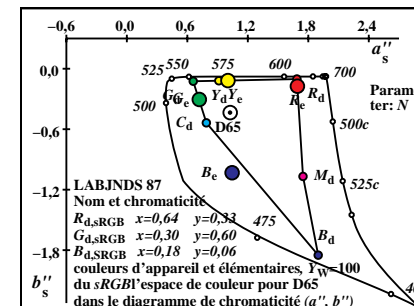
3-000030-L0

TF421-7N_1



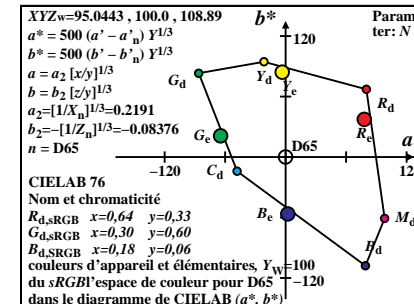
3-000030-L0

TF421-2N_1



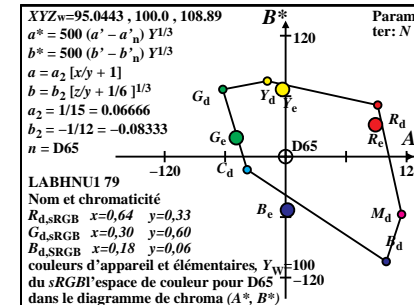
3-000030-L0

TF421-4N_1



3-000030-L0

TF421-6N_1



3-000030-L0

TF421-8N_1

couleurs d'appareil et élémentaires du sRGB l'espace de couleur pour D50, $Y_w=100$

Code	X100	Y100	Z100	x	y	z	h_{xy}	i_d, λ_d	i_c, λ_c
R _{d,sRGB}	48.51	25.01	2.27	0.64	0.3299	0.03	354.4	41 607	17 489
Y _{d,sRGB}	83.39	94.79	13.9	0.4341	0.4934	0.0723	56.7	33 567	11 459
G _{d,sRGB}	34.88	69.77	11.62	0.3	0.6	0.0999	100.6	28 541	-1 541c
C _{d,sRGB}	47.91	74.98	80.22	0.2358	0.3691	0.3949	174.4	17 489	41 607
B _{d,sRGB}	13.02	5.2	68.59	0.1499	0.0599	0.7899	236.7	11 459	33 567
M _{d,sRGB}	61.53	30.22	70.86	0.3783	0.1858	0.4357	280.7	-1 541c	28 541
R _{e,sRGB}	37.43	19.19	6.44	0.5935	0.3043	0.1021	347.6	48 641	18 490
Y _{e,sRGB}	58.8	63.38	9.13	0.4478	0.4826	0.0695	50.5	33 569	13 468
G _{e,sRGB}	38.98	66.27	49.0	0.2526	0.4296	0.3176	142.5	19 498	-1 498c
B _{e,sRGB}	26.41	27.25	87.68	0.1868	0.1927	0.6203	226.2	14 472	34 571

3-000130-L0

TF420-1N_2

couleurs d'appareil et élémentaires du sRGB l'espace de couleur pour D50, $Y_w=100$

Code	Y100	A100	B100	C _{AB}	a	b	h_{AB}	i_d, λ_d	i_c, λ_c
R _{d,sRGB}	25.01	24.39	7.34	25.47	1.9393	-0.0363	16.7	41 609	18 491
Y _{d,sRGB}	94.79	-8.0	25.71	26.93	0.8798	-0.0586	107.2	33 567	12 464
G _{d,sRGB}	69.77	-32.39	18.37	37.24	0.4999	-0.0666	150.4	27 539	-1 539c
C _{d,sRGB}	74.98	-24.39	-7.34	25.47	0.6389	-0.4279	196.7	17 486	37 585
B _{d,sRGB}	5.2	8.0	-25.71	26.93	2.4999	-5.2665	287.2	11 459	33 566
M _{d,sRGB}	30.22	32.39	-18.37	37.24	2.036	-0.9379	330.4	-1 549c	29 549
R _{e,sRGB}	19.19	18.92	3.75	19.29	1.9502	-0.1343	11.2	-1 493c	18 493
Y _{e,sRGB}	63.38	-2.3	17.26	17.41	0.9278	-0.0576	97.6	34 570	14 472
G _{e,sRGB}	66.27	-24.92	2.26	25.03	0.5881	-0.2957	174.7	18 494	-1 494c
B _{e,sRGB}	27.25	0.14	-26.07	26.07	0.9694	-1.2869	270.3	14 471	33 569

3-000130-L0

TF420-3N_2

couleurs d'appareil et élémentaires du sRGB l'espace de couleur pour D50, $Y_w=100$

Code	L*100	a*100	b*100	C* _{ab}	a'	b'	h_{ab}	i_d, λ_d^*	i_c, λ_c^*
R _{d,sRGB}	57.09	82.61	65.54	105.45	0.2732	-0.0376	38.4	-1 480c	16 480
Y _{d,sRGB}	97.95	-14.77	85.97	87.23	0.2099	-0.0441	99.7	33 565	14 470
G _{d,sRGB}	86.89	-87.17	73.28	113.89	0.1738	-0.046	139.9	27 536	6 433
C _{d,sRGB}	89.39	-58.21	-16.44	60.49	0.1886	-0.0856	195.7	17 485	-1 485c
B _{d,sRGB}	27.35	69.74	-113.33	133.07	0.2971	-0.1976	301.6	12 463	30 550
M _{d,sRGB}	61.85	94.91	-55.89	110.15	0.2776	-0.1112	329.5	-1 527c	25 527
R _{e,sRGB}	50.92	76.31	29.85	81.94	0.2737	-0.0582	21.3	-1 483c	16 483
Y _{e,sRGB}	83.64	-5.47	75.74	75.93	0.2136	-0.0439	94.1	33 569	14 471
G _{e,sRGB}	85.14	-66.22	6.25	66.52	0.1835	-0.0757	174.6	20 502	-1 502c
B _{e,sRGB}	59.21	0.58	-74.42	74.43	0.2168	-0.1236	270.4	14 472	34 571

3-000130-L0

TF420-5N_2

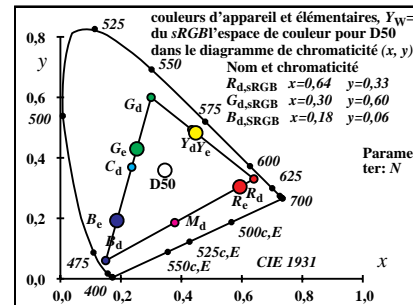
couleurs d'appareil et élémentaires du sRGB l'espace de couleur pour D50, $Y_w=100$

CodeD65	L*100	a*100	b*100	C* _{ab}	a'	b'	h_{ab}	i_d, λ_d^*	i_c, λ_c^*
R _{d,sRGB}	57.09	83.03	59.8	102.32	0.2732	-0.0376	35.7	-1 480c	16 480
Y _{d,sRGB}	97.95	-14.84	78.39	79.78	0.2099	-0.0441	100.7	33 565	14 470
G _{d,sRGB}	86.89	-87.61	66.82	110.18	0.1739	-0.046	142.6	26 533	-1 533c
C _{d,sRGB}	89.39	-58.5	-14.99	60.39	0.1887	-0.0856	194.3	17 486	-1 486c
B _{d,sRGB}	27.35	70.13	-103.35	124.9	0.2972	-0.1976	304.1	12 461	29 549
M _{d,sRGB}	61.85	95.39	-50.96	108.15	0.2776	-0.1112	331.8	-1 525c	25 525
R _{e,sRGB}	50.92	76.7	27.22	81.39	0.2737	-0.0582	19.5	-1 484c	16 484
Y _{e,sRGB}	83.64	-5.5	69.06	66.28	0.2137	-0.0439	94.5	33 568	14 471
G _{e,sRGB}	85.14	-66.55	5.69	66.79	0.1835	-0.0757	175.1	20 501	-1 501c
B _{e,sRGB}	59.21	0.58	-67.85	67.86	0.2168	-0.1236	270.4	14 472	34 571

3-000130-L0

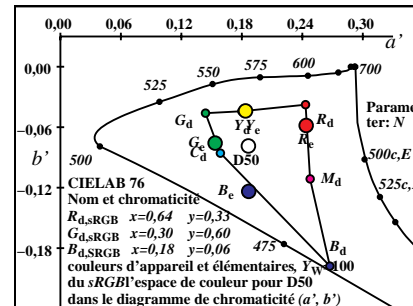
TF420-7N_2

TUB-test graphique TF42; sRGB: Basic and mixture colours entrée: w/rgb/cmyk -> w/rgb/cmyk-
 XYZ, YABCh, LabCh* data, $Y_w=100$, Parameter: Name
 sortie: aucun changement



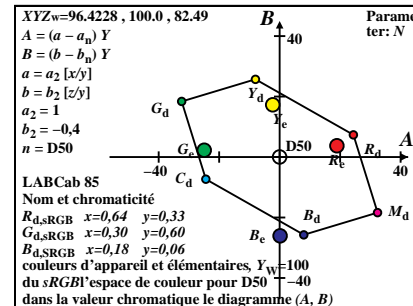
3-000130-L0

TF421-1N_2



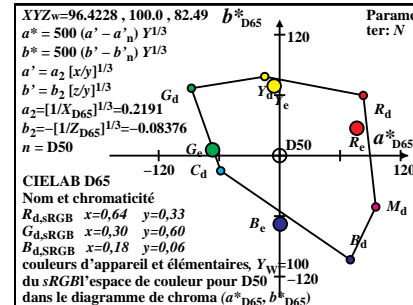
3-000130-L0

TF421-3N_2



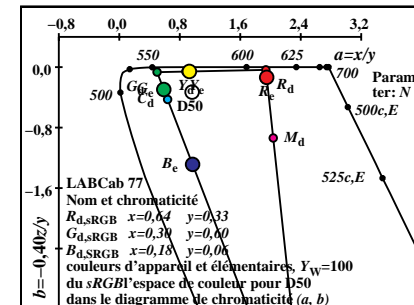
3-000130-L0

TF421-5N_2



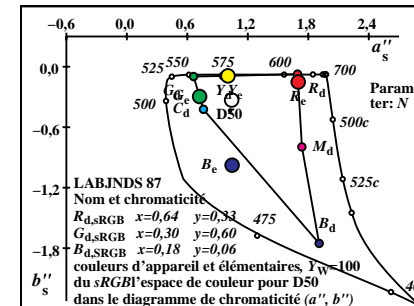
3-000130-L0

TF421-7N_2



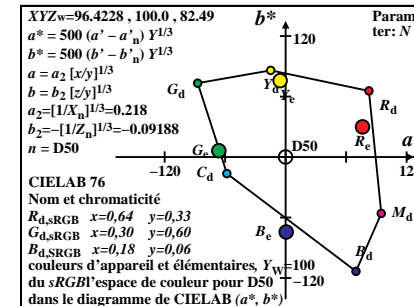
3-000130-L0

TF421-2N_2



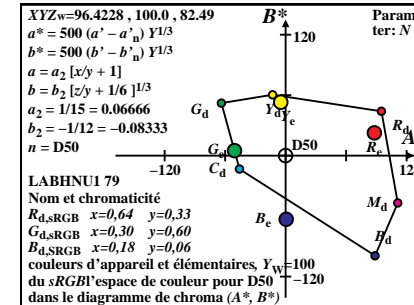
3-000130-L0

TF421-4N_2



3-000130-L0

TF421-6N_2



3-000130-L0

TF421-8N_2

couleurs d'appareil et élémentaires du sRGB l'espace de couleur pour P40, $Y_w=100$

Code	X ₁₀₀	Y ₁₀₀	Z ₁₀₀	x	y	z	h _{xy}	i _d , λ _d	i _c , λ _c
R _{d,sRGB}	58.19	30.0	2.72	0.64	0.3299	0.03	349.8	41 608	18 491
Y _{d,sRGB}	91.25	96.13	13.74	0.4537	0.4779	0.0683	53.9	34 570	12 460
G _{d,sRGB}	33.06	66.12	11.02	0.3	0.6	0.0999	109.6	27 537	-1 537c
C _{d,sRGB}	42.73	69.99	61.96	0.2446	0.4006	0.3547	169.8	18 491	41 608
B _{d,sRGB}	9.67	3.86	50.94	0.1499	0.0599	0.79	234.0	12 460	34 570
M _{d,sRGB}	67.87	33.87	53.66	0.4366	0.2179	0.3453	289.7	-1 537c	27 537
R _{e,sRGB}	37.43	19.19	6.44	0.5935	0.3043	0.1021	341.3	-1 493c	18 493
Y _{e,sRGB}	58.8	63.38	9.13	0.4478	0.4826	0.0695	57.3	33 569	9 448
G _{e,sRGB}	38.98	66.27	49.0	0.2526	0.4296	0.3176	157.3	18 494	-1 494c
B _{e,sRGB}	26.41	27.25	87.68	0.1868	0.1927	0.6203	223.5	14 472	34 573

3-000230-L0

TF420-1N_3

couleurs d'appareil et élémentaires du sRGB l'espace de couleur pour P40, $Y_w=100$

Code	Y ₁₀₀	A ₁₀₀	B ₁₀₀	C _{AB}	a	b	h _{AB}	i _d , λ _d	i _c , λ _c
R _{d,sRGB}	30.0	27.9	6.67	28.69	1.9393	-0.0363	13.4	44 620	20 500
Y _{d,sRGB}	96.13	-5.76	19.37	20.21	0.9493	-0.0572	106.5	33 568	-1 568c
G _{d,sRGB}	66.12	-33.67	12.7	35.99	0.4999	-0.0666	159.3	23 519	-1 519c
C _{d,sRGB}	69.99	-27.91	-6.67	28.69	0.6105	-0.3541	193.4	17 488	36 580
B _{d,sRGB}	3.86	5.76	-19.37	20.21	2.4999	-5.2665	286.5	12 460	34 572
M _{d,sRGB}	33.87	33.67	-12.7	35.99	2.0034	-0.6336	339.3	-1 564c	32 564
R _{e,sRGB}	19.19	18.06	2.38	18.21	1.9502	-0.1343	7.5	-1 507c	21 507
Y _{e,sRGB}	63.38	-5.16	12.74	13.75	0.9278	-0.0576	112.0	33 566	-1 566c
G _{e,sRGB}	66.27	-27.91	-2.45	28.02	0.5881	-0.2957	185.0	18 490	36 583
B _{e,sRGB}	27.25	-1.08	-28.02	28.04	0.9694	-1.2869	267.7	14 472	34 573

3-000230-L0

TF420-3N_3

couleurs d'appareil et élémentaires du sRGB l'espace de couleur pour P40, $Y_w=100$

Code	L* ₁₀₀	a* ₁₀₀	b* ₁₀₀	C* _{ab}	a'	b'	h _{ab}	i _d , λ* _d	i _c , λ* _c
R _{d,sRGB}	61.67	81.4	64.24	103.69	0.2732	-0.0376	38.2	-1 480c	16 480
Y _{d,sRGB}	98.48	-9.97	78.02	78.65	0.2153	-0.0437	97.2	33 569	14 470
G _{d,sRGB}	85.06	-90.91	63.35	110.81	0.1738	-0.046	145.1	27 535	-1 535c
C _{d,sRGB}	86.99	-68.47	-19.57	71.21	0.1858	-0.0804	195.9	17 486	-1 486c
B _{d,sRGB}	23.26	59.63	-116.99	131.31	0.2971	-0.1976	297.0	12 464	31 557
M _{d,sRGB}	64.87	89.47	-48.5	101.77	0.2761	-0.0976	331.5	-1 529c	25 529
R _{e,sRGB}	50.92	70.8	22.63	74.33	0.2737	-0.0582	17.7	-1 485c	17 485
Y _{e,sRGB}	83.64	-11.88	67.63	68.67	0.2136	-0.0439	99.9	33 567	13 469
G _{e,sRGB}	85.14	-71.81	-7.94	72.25	0.1835	-0.0757	186.3	18 491	-1 491c
B _{e,sRGB}	59.21	-4.32	-91.66	91.76	0.2168	-0.1236	267.2	14 472	34 574

3-000230-L0

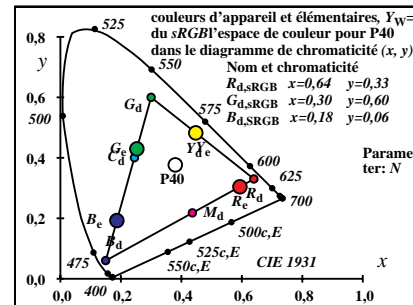
TF420-5N_3

couleurs d'appareil et élémentaires du sRGB l'espace de couleur pour P40, $Y_w=100$

CodeD65	L* ₁₀₀	a* ₁₀₀	b* ₁₀₀	C* _{ab}	a'	b'	h _{ab}	i _d , λ* _d	i _c , λ* _c
R _{d,sRGB}	61.67	83.06	54.04	99.09	0.2732	-0.0376	33.0	-1 481c	16 481
Y _{d,sRGB}	98.48	-10.17	65.59	66.38	0.2153	-0.0438	98.8	33 568	14 470
G _{d,sRGB}	85.06	-92.77	53.27	106.97	0.1739	-0.046	150.1	26 530	-1 530c
C _{d,sRGB}	86.99	-69.87	-16.45	71.78	0.1858	-0.0804	193.2	17 487	-1 487c
B _{d,sRGB}	23.26	60.9	-98.39	115.71	0.2972	-0.1976	301.7	12 462	30 554
M _{d,sRGB}	64.87	91.3	-40.77	99.99	0.2761	-0.0976	335.9	-1 524c	24 524
R _{e,sRGB}	50.92	72.25	19.04	74.71	0.2737	-0.0582	14.7	-1 486c	17 486
Y _{e,sRGB}	83.64	-12.12	56.87	58.15	0.2137	-0.0439	102.0	33 566	13 469
G _{e,sRGB}	85.14	-73.27	-6.67	73.58	0.1835	-0.0757	185.2	18 492	-1 492c
B _{e,sRGB}	59.21	-4.41	-77.06	77.18	0.2168	-0.1236	266.7	14 472	35 575

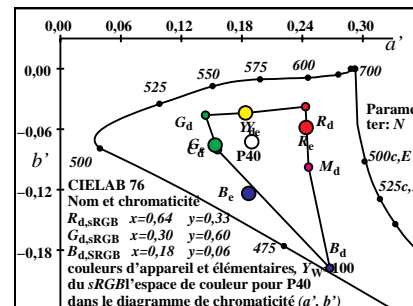
3-000230-L0

TF420-7N_3



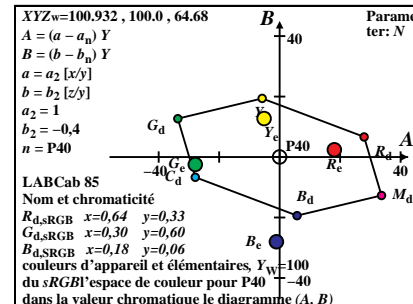
3-000230-L0

TF421-1N_3



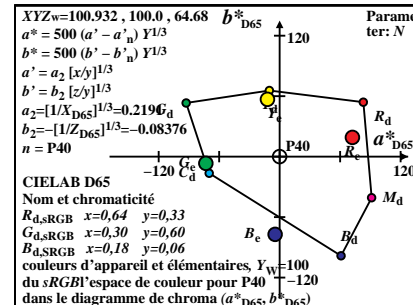
3-000230-L0

TF421-3N_3



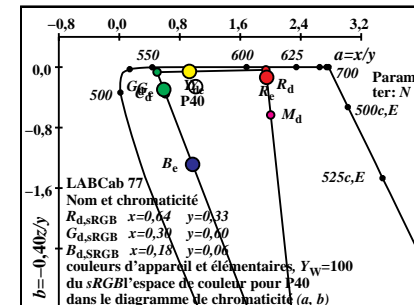
3-000230-L0

TF421-5N_3



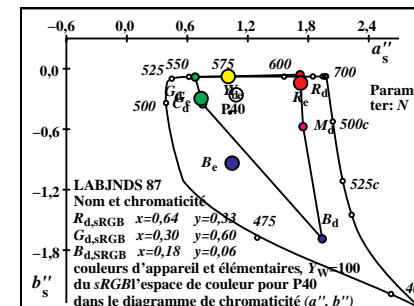
3-000230-L0

TF421-7N_3



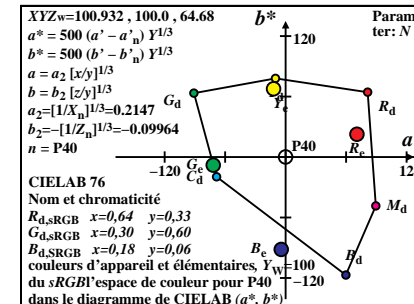
3-000230-L0

TF421-2N_3



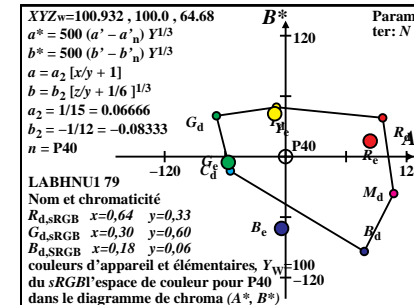
3-000230-L0

TF421-4N_3



3-000230-L0

TF421-6N_3



3-000230-L0

TF421-8N_3

couleurs d'appareil et élémentaires du sRGB l'espace de couleur pour A00, $Y_w=100$

Code	X100	Y100	Z100	x	y	z	h_{xy}	i_d, λ_d	i_c, λ_c
R _{d,sRGB}	76.1	39.23	3.56	0.64	0.33	0.03	338.0	42 614	19 496
Y _{d,sRGB}	105.63	98.31	13.41	0.4859	0.4523	0.0617	49.3	35 575	12 460
G _{d,sRGB}	29.53	59.07	9.84	0.3	0.6	0.0999	127.4	24 522	-1 522c
C _{d,sRGB}	33.74	60.76	32.01	0.2667	0.4802	0.253	158.0	19 496	42 614
B _{d,sRGB}	4.2	1.68	22.16	0.15	0.06	0.79	229.4	12 460	35 575
M _{d,sRGB}	80.31	40.92	25.73	0.5464	0.2784	0.1751	307.4	-1 522c	24 522
R _{e,sRGB}	37.43	19.19	6.44	0.5935	0.3043	0.1021	324.7	-1 503c	20 503
Y _{e,sRGB}	58.8	63.38	9.13	0.4478	0.4826	0.0695	89.7	33 565	-1 565c
G _{e,sRGB}	38.98	66.27	49.0	0.2526	0.4296	0.3176	173.4	18 491	38 591
B _{e,sRGB}	26.41	27.25	87.68	0.1868	0.1927	0.6203	219.4	14 473	35 577

3-000330-L0

TF420-1N_4

couleurs d'appareil et élémentaires du sRGB l'espace de couleur pour A00, $Y_w=100$

Code	Y100	A100	B100	C _{AB}	a	b	h_{AB}	i_d, λ_d	i_c, λ_c
R _{d,sRGB}	39.23	32.99	4.15	33.25	1.9393	-0.0363	7.1	-1 597c	39 597
Y _{d,sRGB}	98.31	-2.35	8.62	8.94	1.0744	-0.0545	105.2	16 482	35 577
G _{d,sRGB}	59.07	-35.35	4.46	35.63	0.4999	-0.0666	172.7	20 500	32 562
C _{d,sRGB}	60.76	-32.99	-4.15	33.25	0.5554	-0.2107	187.1	18 491	34 571
B _{d,sRGB}	1.68	2.35	-8.62	8.94	2.4998	-5.2663	285.2	12 461	36 580
M _{d,sRGB}	40.92	35.35	-4.46	35.63	1.9624	-0.2515	352.7	-1 587c	37 587
R _{e,sRGB}	19.19	16.34	0.15	16.34	1.9502	-0.1343	0.5	-1 590c	38 590
Y _{e,sRGB}	63.38	-10.81	5.36	12.07	0.9278	-0.0576	153.6	17 488	34 573
G _{e,sRGB}	66.27	-33.82	-10.16	35.32	0.5881	-0.2957	196.7	17 488	34 573
B _{e,sRGB}	27.25	-3.51	-31.19	31.39	0.9694	-1.2869	263.5	14 474	35 579

3-000330-L0

TF420-3N_4

couleurs d'appareil et élémentaires du sRGB l'espace de couleur pour A00, $Y_w=100$

Code	L*100	a*100	b*100	C* _{ab}	a'	b'	h_{ab}	i_d, λ_d^*	i_c, λ_c^*
R _{d,sRGB}	68.93	76.35	53.49	93.23	0.2732	-0.0376	35.0	-1 482c	16 482
Y _{d,sRGB}	99.34	-3.64	54.38	54.51	0.2243	-0.0431	93.8	34 574	14 470
G _{d,sRGB}	81.33	-96.79	37.48	103.8	0.1738	-0.046	158.8	26 531	-1 531c
C _{d,sRGB}	82.25	-86.09	-23.68	89.29	0.18	-0.0676	195.3	17 488	-1 488c
B _{d,sRGB}	13.79	40.3	-119.46	126.08	0.2971	-0.1976	288.6	13 466	33 568
M _{d,sRGB}	70.12	79.2	-31.03	85.06	0.2742	-0.0717	338.6	-1 531c	26 531
R _{e,sRGB}	50.92	60.8	2.2	60.84	0.2737	-0.0582	2.0	-1 500c	20 500
Y _{e,sRGB}	83.64	-23.5	44.68	50.48	0.2136	-0.0439	117.7	32 563	12 462
G _{e,sRGB}	85.14	-81.94	-48.13	95.03	0.1835	-0.0757	210.4	16 483	-1 483c
B _{e,sRGB}	59.21	-13.22	-140.46	141.08	0.2168	-0.1236	264.6	14 472	35 578

3-000330-L0

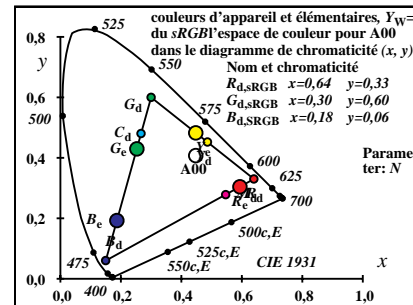
TF420-5N_4

couleurs d'appareil et élémentaires du sRGB l'espace de couleur pour A00, $Y_w=100$

CodeD65	L*100	a*100	b*100	C* _{ab}	a'	b'	h_{ab}	i_d, λ_d^*	i_c, λ_c^*
R _{d,sRGB}	68.93	80.14	36.85	88.21	0.2732	-0.0376	24.6	-1 485c	17 485
Y _{d,sRGB}	99.34	-3.82	37.46	37.66	0.2244	-0.0431	95.8	34 574	13 469
G _{d,sRGB}	81.33	-101.6	25.82	104.83	0.1739	-0.046	165.7	24 522	-1 522c
C _{d,sRGB}	82.25	-90.36	-16.31	91.82	0.1801	-0.0676	190.2	18 491	-1 491c
B _{d,sRGB}	13.79	42.41	-82.34	92.62	0.2972	-0.1976	297.2	12 462	32 563
M _{d,sRGB}	70.12	83.13	-21.38	85.83	0.2743	-0.0717	345.5	-1 522c	24 522
R _{e,sRGB}	50.92	63.82	1.52	63.84	0.2737	-0.0582	1.3	-1 501c	20 501
Y _{e,sRGB}	83.64	-24.66	30.78	39.44	0.2137	-0.0439	128.7	31 557	10 452
G _{e,sRGB}	85.14	-86.0	-33.15	92.18	0.1835	-0.0757	201.0	17 486	-1 486c
B _{e,sRGB}	59.21	-13.88	-96.75	97.74	0.2168	-0.1236	261.8	14 472	36 580

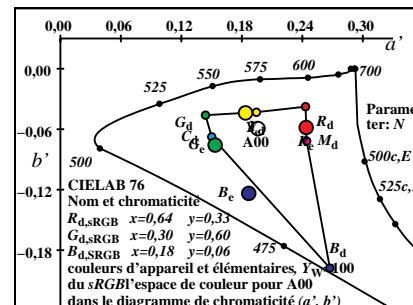
3-000330-L0

TF420-7N_4



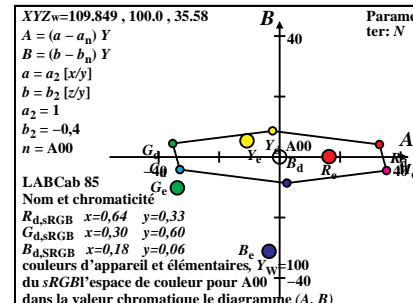
3-000330-L0

TF421-1N_4



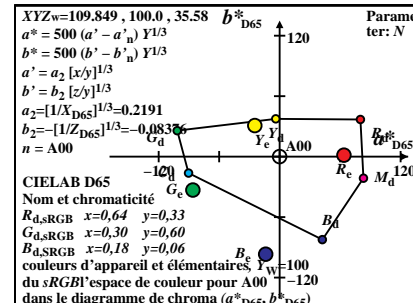
3-000330-L0

TF421-3N_4



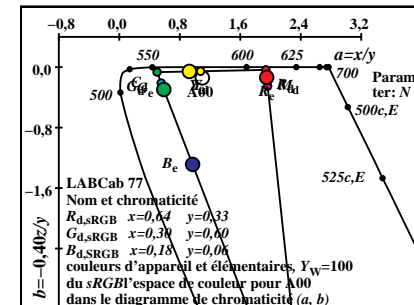
3-000330-L0

TF421-5N_4



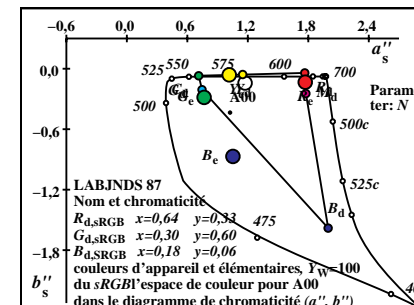
3-000330-L0

TF421-7N_4



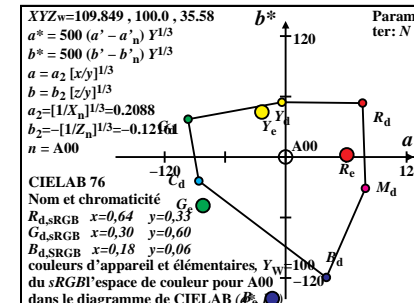
3-000330-L0

TF421-2N_4



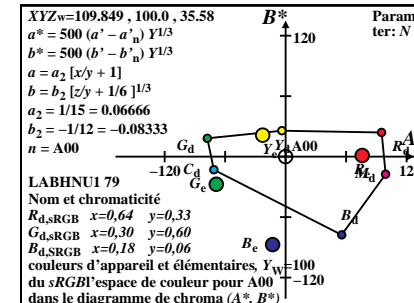
3-000330-L0

TF421-4N_4



3-000330-L0

TF421-6N_4



3-000330-L0

TF421-8N_4

couleurs d'appareil et élémentaires du sRGB l'espace de couleur pour E00, $Y_w=100$

Code	X100	Y100	Z100	x	y	z	h_{xy}	i_d, λ_d	i_c, λ_c
R _{d,sRGB}	49.69	25.62	2.32	0.64	0.33	0.03	359.3	41 606	17 486
Y _{d,sRGB}	83.6	93.44	13.63	0.4384	0.49	0.0714	56.1	33 568	11 459
G _{d,sRGB}	33.9	67.81	11.3	0.3	0.6	0.0999	97.1	28 542	-1 542c
C _{d,sRGB}	50.3	74.37	97.67	0.2262	0.3344	0.4392	179.3	17 486	41 606
B _{d,sRGB}	16.39	6.55	86.36	0.15	0.06	0.7899	236.1	11 459	33 568
M _{d,sRGB}	66.09	32.18	88.69	0.3534	0.1721	0.4743	277.1	-1 542c	28 542
R _{e,sRGB}	37.43	19.19	6.44	0.5935	0.3043	0.1021	353.6	45 625	17 488
Y _{e,sRGB}	58.8	63.38	9.13	0.4478	0.4826	0.0695	52.4	33 569	13 465
G _{e,sRGB}	38.98	66.27	49.0	0.2526	0.4296	0.3176	129.9	20 503	-1 503c
B _{e,sRGB}	26.41	27.25	87.68	0.1868	0.1927	0.6203	223.8	14 472	34 573

3-000430-L0

TF420-1N_5

couleurs d'appareil et élémentaires du sRGB l'espace de couleur pour E00, $Y_w=100$

Code	Y100	A100	B100	C _{AB}	a	b	h_{AB}	i_d, λ_d	i_c, λ_c
R _{d,sRGB}	25.62	24.06	9.31	25.81	1.9393	-0.0363	21.1	41 606	17 486
Y _{d,sRGB}	93.44	-9.83	31.92	33.4	0.8947	-0.0583	107.1	33 568	11 459
G _{d,sRGB}	67.81	-33.9	22.6	40.75	0.4999	-0.0666	146.3	28 542	-1 542c
C _{d,sRGB}	74.37	-24.06	-9.31	25.81	0.6763	-0.5252	201.1	17 486	41 606
B _{d,sRGB}	6.55	9.83	-31.92	33.4	2.4999	-5.2665	287.1	11 459	33 568
M _{d,sRGB}	32.18	33.9	-22.6	40.75	2.0536	-1.1024	326.3	-1 542c	28 542
R _{e,sRGB}	19.19	18.23	5.09	18.93	1.9502	-0.1343	15.6	45 625	17 488
Y _{e,sRGB}	63.38	-4.57	21.7	22.17	0.9278	-0.0576	101.9	33 569	13 465
G _{e,sRGB}	66.27	-27.29	6.9	28.16	0.5881	-0.2957	165.7	20 503	-1 503c
B _{e,sRGB}	27.25	-0.83	-24.17	24.18	0.9694	-1.2869	268.0	14 472	34 573

3-000430-L0

TF420-3N_5

couleurs d'appareil et élémentaires du sRGB l'espace de couleur pour E00, $Y_w=100$

Code	L*100	a*100	b*100	C* _{ab}	a'	b'	h_{ab}	i_d, λ_d^*	i_c, λ_c^*
R _{d,sRGB}	57.68	78.44	69.84	105.03	0.2732	-0.0376	41.6	-1 478c	15 478
Y _{d,sRGB}	97.41	-17.79	92.57	94.27	0.2111	-0.044	100.8	33 565	13 469
G _{d,sRGB}	85.92	-90.61	78.99	120.21	0.1738	-0.046	138.9	27 535	7 439
C _{d,sRGB}	89.1	-55.35	-17.22	57.96	0.1923	-0.0917	197.2	16 483	-1 483c
B _{d,sRGB}	30.8	71.98	-109.77	131.26	0.2971	-0.1976	303.2	12 462	29 549
M _{d,sRGB}	63.5	92.87	-55.09	107.98	0.2784	-0.1174	329.3	-1 525c	25 525
R _{e,sRGB}	50.92	71.91	35.15	80.04	0.2737	-0.0582	26.0	-1 481c	16 481
Y _{e,sRGB}	83.64	-10.59	81.7	82.38	0.2136	-0.0439	97.3	33 568	14 470
G _{e,sRGB}	85.14	-70.68	16.69	72.63	0.1835	-0.0757	166.7	21 508	-1 508c
B _{e,sRGB}	59.21	-3.33	-61.74	61.83	0.2168	-0.1236	266.9	14 472	35 575

3-000430-L0

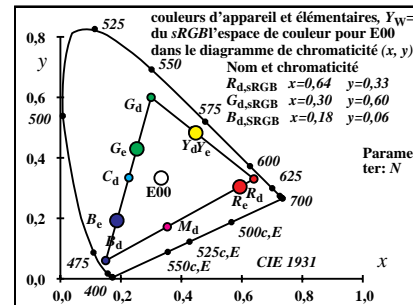
TF420-5N_5

couleurs d'appareil et élémentaires du sRGB l'espace de couleur pour E00, $Y_w=100$

CodeD65	L*100	a*100	b*100	C* _{ab}	a'	b'	h_{ab}	i_d, λ_d^*	i_c, λ_c^*
R _{d,sRGB}	57.68	79.8	67.95	104.81	0.2732	-0.0376	40.4	-1 478c	15 478
Y _{d,sRGB}	97.41	-18.1	90.0	91.8	0.2111	-0.044	101.3	33 565	13 469
G _{d,sRGB}	85.92	-92.17	76.8	119.98	0.1739	-0.046	140.1	26 534	6 434
C _{d,sRGB}	89.1	-56.3	-16.74	58.74	0.1923	-0.0917	196.5	16 484	-1 484c
B _{d,sRGB}	30.8	73.26	-106.73	129.45	0.2972	-0.1976	304.4	12 461	29 548
M _{d,sRGB}	63.5	94.47	-53.56	108.6	0.2784	-0.1174	330.4	-1 524c	24 524
R _{e,sRGB}	50.92	73.15	34.19	80.75	0.2737	-0.0582	25.0	-1 481c	16 481
Y _{e,sRGB}	83.64	-10.77	79.44	80.16	0.2137	-0.0439	97.7	33 567	14 470
G _{e,sRGB}	85.14	-71.9	16.22	73.71	0.1835	-0.0757	167.2	21 508	-1 508c
B _{e,sRGB}	59.21	-3.39	-60.02	60.12	0.2168	-0.1236	266.7	14 472	35 575

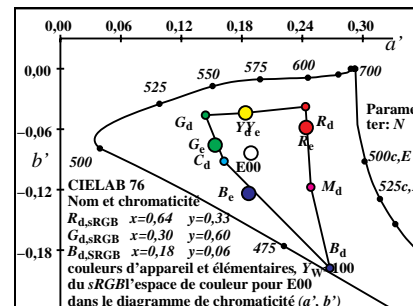
3-000430-L0

TF420-7N_5



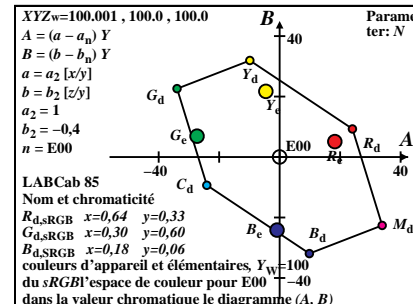
3-000430-L0

TF421-1N_5



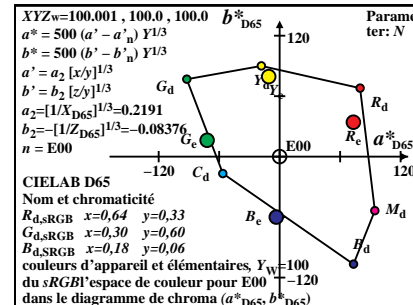
3-000430-L0

TF421-3N_5



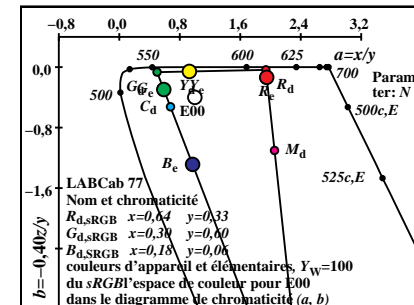
3-000430-L0

TF421-5N_5



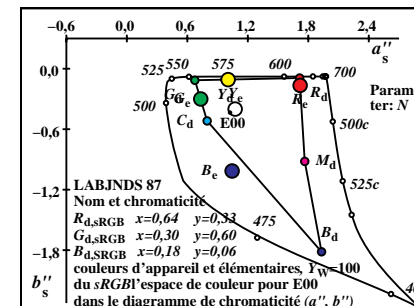
3-000430-L0

TF421-7N_5



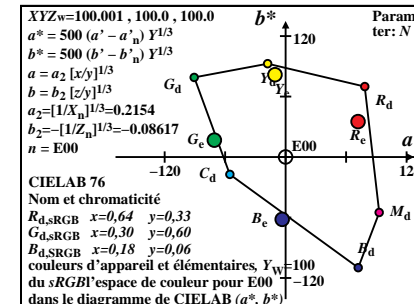
3-000430-L0

TF421-2N_5



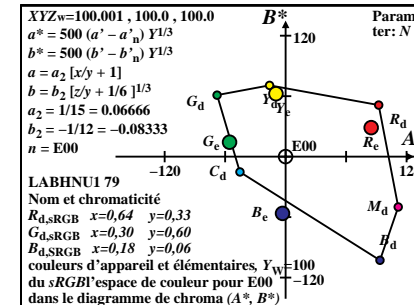
3-000430-L0

TF421-4N_5



3-000430-L0

TF421-6N_5



3-000430-L0

TF421-8N_5

couleurs d'appareil et élémentaires du sRGB l'espace de couleur pour C00, $Y_w=100$

Code	X100	Y100	Z100	x	y	z	h_{xy}	i_d, λ_d	i_c, λ_c
R _{d,sRGB}	43.36	22.36	2.03	0.64	0.33	0.03	2.4	41 605	17 485
Y _{d,sRGB}	78.21	92.05	13.64	0.4252	0.5005	0.0742	57.9	33 566	11 459
G _{d,sRGB}	34.84	69.69	11.61	0.3	0.6	0.0999	92.0	28 544	-1 544c
C _{d,sRGB}	54.7	77.63	116.19	0.2201	0.3123	0.4675	182.4	17 485	41 605
B _{d,sRGB}	19.85	7.94	104.57	0.1499	0.0599	0.7899	238.0	11 459	33 566
M _{d,sRGB}	63.22	30.3	106.6	0.3159	0.1514	0.5326	272.0	-1 544c	28 544
R _{e,sRGB}	37.43	19.19	6.44	0.5935	0.3043	0.1021	357.6	43 619	17 486
Y _{e,sRGB}	58.8	63.38	9.13	0.4478	0.4826	0.0695	50.3	34 570	13 468
G _{e,sRGB}	38.98	66.27	49.0	0.2526	0.4296	0.3176	116.7	22 512	-1 512c
B _{e,sRGB}	26.41	27.25	87.68	0.1868	0.1927	0.6203	225.0	14 472	34 572

3-000530-L0

TF420-1N_6

couleurs d'appareil et élémentaires du sRGB l'espace de couleur pour C00, $Y_w=100$

Code	Y100	A100	B100	C _{AB}	a	b	h_{AB}	i_d, λ_d	i_c, λ_c
R _{d,sRGB}	22.36	21.43	9.76	23.55	1.9393	-0.0363	24.4	41 605	16 484
Y _{d,sRGB}	92.05	-12.06	38.07	39.94	0.8496	-0.0593	107.5	33 566	13 465
G _{d,sRGB}	69.69	-33.5	28.31	43.86	0.4999	-0.0666	139.8	29 545	-1 545c
C _{d,sRGB}	77.63	-21.43	-9.76	23.55	0.7046	-0.5986	204.4	17 487	-1 487c
B _{d,sRGB}	7.94	12.06	-38.07	39.94	2.4999	-5.2666	287.5	11 459	32 564
M _{d,sRGB}	30.3	33.5	-28.31	43.86	2.0863	-1.4072	319.8	-1 531c	26 531
R _{e,sRGB}	19.19	18.6	6.49	19.71	1.9502	-0.1343	19.2	43 616	17 485
Y _{e,sRGB}	63.38	-3.35	26.32	26.53	0.9278	-0.0576	97.2	34 570	14 470
G _{e,sRGB}	66.27	-26.02	11.74	28.54	0.5881	-0.2957	155.7	24 523	-1 523c
B _{e,sRGB}	27.25	-0.3	-22.18	22.18	0.9694	-1.2869	269.2	14 472	34 571

3-000530-L0

TF420-3N_6

couleurs d'appareil et élémentaires du sRGB l'espace de couleur pour C00, $Y_w=100$

Code	L*100	a*100	b*100	C* _{ab}	a'	b'	h_{ab}	i_d, λ_d^*	i_c, λ_c^*
R _{d,sRGB}	54.41	77.42	69.69	104.17	0.2732	-0.0376	41.9	-1 478c	15 478
Y _{d,sRGB}	96.84	-22.71	97.15	99.77	0.2075	-0.0443	103.1	32 562	13 469
G _{d,sRGB}	86.85	-89.15	85.01	123.18	0.1738	-0.046	136.3	27 535	9 448
C _{d,sRGB}	90.61	-47.95	-15.02	50.25	0.1949	-0.0957	197.3	16 483	-1 483c
B _{d,sRGB}	33.88	78.63	-105.98	131.97	0.2971	-0.1976	306.5	12 461	28 544
M _{d,sRGB}	61.92	96.07	-58.87	112.68	0.2799	-0.1273	328.4	-1 524c	24 524
R _{e,sRGB}	50.92	74.25	39.5	84.11	0.2737	-0.0582	28.0	-1 480c	16 480
Y _{e,sRGB}	83.64	-7.86	86.58	86.94	0.2136	-0.0439	95.1	33 568	14 471
G _{e,sRGB}	85.14	-68.3	25.25	72.82	0.1835	-0.0757	159.7	22 513	-1 513c
B _{e,sRGB}	59.21	-1.24	-51.36	51.37	0.2168	-0.1236	268.6	14 472	34 573

3-000530-L0

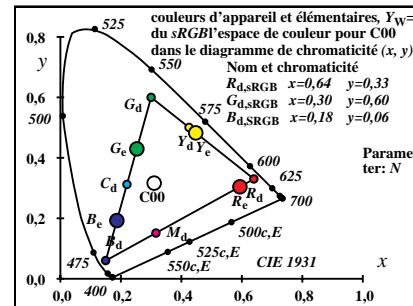
TF420-5N_6

couleurs d'appareil et élémentaires du sRGB l'espace de couleur pour C00, $Y_w=100$

CodeD65	L*100	a*100	b*100	C* _{ab}	a'	b'	h_{ab}	i_d, λ_d^*	i_c, λ_c^*
R _{d,sRGB}	54.41	78.25	71.71	106.14	0.2732	-0.0376	42.5	-1 478c	15 478
Y _{d,sRGB}	96.84	-22.95	99.87	102.47	0.2075	-0.0443	102.9	32 563	13 469
G _{d,sRGB}	86.85	-90.1	87.39	125.52	0.1739	-0.046	135.8	27 536	9 449
C _{d,sRGB}	90.61	-48.46	-15.44	50.86	0.1949	-0.0958	197.6	16 483	-1 483c
B _{d,sRGB}	33.88	79.49	-108.96	134.88	0.2972	-0.1976	306.1	12 461	28 544
M _{d,sRGB}	61.92	97.1	-60.52	114.41	0.2799	-0.1273	328.0	-1 524c	24 524
R _{e,sRGB}	50.92	75.05	40.63	85.34	0.2737	-0.0582	28.4	-1 480c	16 480
Y _{e,sRGB}	83.64	-7.94	89.02	89.37	0.2137	-0.0439	95.1	33 568	14 471
G _{e,sRGB}	85.14	-69.03	25.95	73.75	0.1835	-0.0757	159.3	22 513	-1 513c
B _{e,sRGB}	59.21	-1.26	-52.79	52.81	0.2168	-0.1236	268.6	14 472	34 573

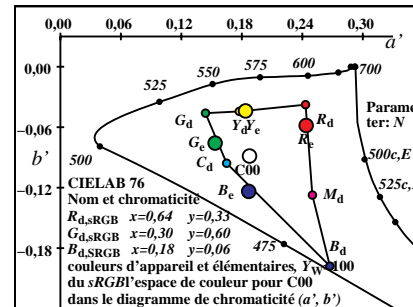
3-000530-L0

TF420-7N_6



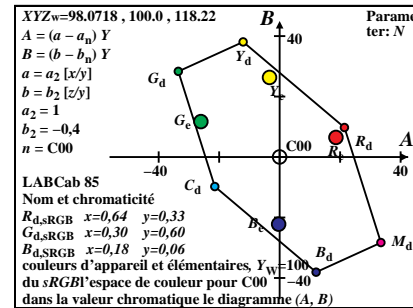
3-000530-L0

TF421-1N_6



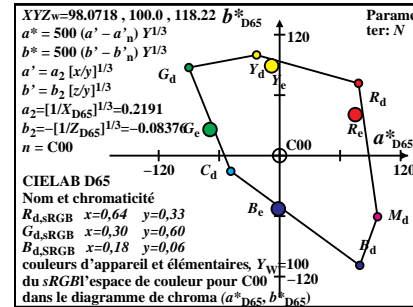
3-000530-L0

TF421-3N_6



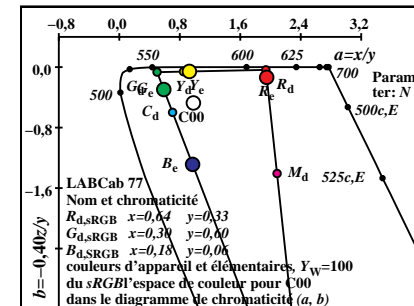
3-000530-L0

TF421-5N_6



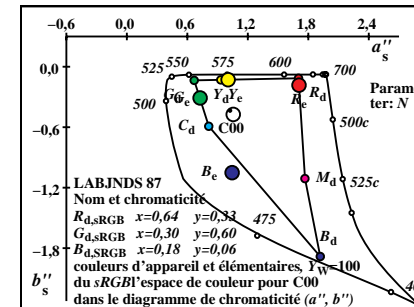
3-000530-L0

TF421-7N_6



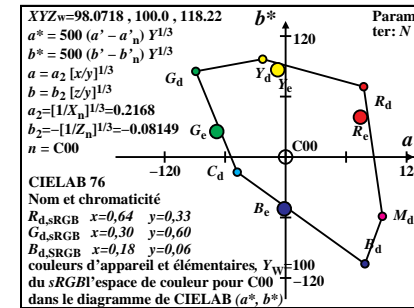
3-000530-L0

TF421-2N_6



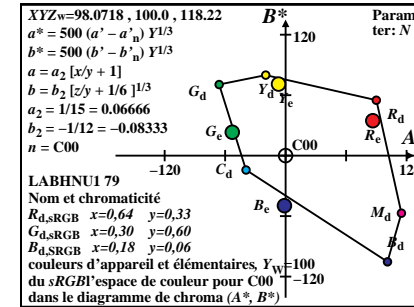
3-000530-L0

TF421-4N_6



3-000530-L0

TF421-6N_6



3-000530-L0

TF421-8N_6

couleurs d'appareil et élémentaires du sRGB l'espace de couleur pour P00, $Y_w=100$

Code	X ₁₀₀	Y ₁₀₀	Z ₁₀₀	x	y	z	h _{xy}	i _d , λ _d	i _c , λ _c
R _{d,sRGB}	56.34	29.05	2.64	0.64	0.33	0.03	355.2	41 607	17 488
Y _{d,sRGB}	89.26	94.87	13.61	0.4513	0.4797	0.0688	54.2	34 570	11 459
G _{d,sRGB}	32.91	65.82	10.97	0.3	0.6	0.0999	103.7	28 540	-1 540c
C _{d,sRGB}	45.71	70.94	78.41	0.2343	0.3636	0.4019	175.2	17 488	41 607
B _{d,sRGB}	12.8	5.12	67.44	0.15	0.06	0.79	234.3	11 459	34 570
M _{d,sRGB}	69.15	34.17	70.09	0.3987	0.197	0.4041	283.8	-1 540c	28 540
R _{e,sRGB}	37.43	19.19	6.44	0.5935	0.3043	0.1021	348.1	47 639	18 490
Y _{e,sRGB}	58.8	63.38	9.13	0.4478	0.4826	0.0695	55.9	33 569	11 455
G _{e,sRGB}	38.98	66.27	49.0	0.2526	0.4296	0.3176	144.6	19 497	-1 497c
B _{e,sRGB}	26.41	27.25	87.68	0.1868	0.1927	0.6203	222.7	14 472	34 574

3-000630-L0

TF420-1N_7

couleurs d'appareil et élémentaires du sRGB l'espace de couleur pour P00, $Y_w=100$

Code	Y ₁₀₀	A ₁₀₀	B ₁₀₀	C _{AB}	a	b	h _{AB}	i _d , λ _d	i _c , λ _c
R _{d,sRGB}	29.05	26.69	8.36	27.97	1.9393	-0.0363	17.3	41 608	18 491
Y _{d,sRGB}	94.87	-7.57	25.31	26.42	0.9407	-0.0573	106.6	33 569	-1 569c
G _{d,sRGB}	65.82	-34.27	16.95	38.23	0.4999	-0.0666	153.6	27 536	-1 536c
C _{d,sRGB}	70.94	-26.69	-8.36	27.97	0.6444	-0.4421	197.3	17 487	38 590
B _{d,sRGB}	5.12	7.57	-25.31	26.42	2.4999	-5.2665	286.6	12 460	34 571
M _{d,sRGB}	34.17	34.27	-16.95	38.23	2.0234	-0.8203	333.6	-1 556c	31 556
R _{e,sRGB}	19.19	17.84	3.64	18.21	1.9502	-0.1343	11.5	-1 493c	18 493
Y _{e,sRGB}	63.38	-5.88	16.89	17.89	0.9278	-0.0576	109.2	33 568	-1 568c
G _{e,sRGB}	66.27	-28.66	1.88	28.73	0.5881	-0.2957	176.2	18 494	-1 494c
B _{e,sRGB}	27.25	-1.39	-26.23	26.27	0.9694	-1.2869	266.9	14 473	35 575

3-000630-L0

TF420-3N_7

couleurs d'appareil et élémentaires du sRGB l'espace de couleur pour P00, $Y_w=100$

Code	L* ₁₀₀	a* ₁₀₀	b* ₁₀₀	C* _{ab}	a'	b'	h _{ab}	i _d , λ* _d	i _c , λ* _c
R _{d,sRGB}	60.83	78.99	68.53	104.58	0.2732	-0.0376	40.9	-1 479c	15 479
Y _{d,sRGB}	97.98	-13.16	86.17	87.17	0.2146	-0.0438	98.6	33 568	14 470
G _{d,sRGB}	84.91	-92.06	71.27	116.42	0.1738	-0.046	142.2	27 535	2 412
C _{d,sRGB}	87.46	-63.36	-19.42	66.28	0.1892	-0.0865	197.0	16 484	-1 484c
B _{d,sRGB}	27.1	64.56	-113.79	130.83	0.2971	-0.1976	299.5	12 463	30 554
M _{d,sRGB}	65.11	89.55	-50.69	102.91	0.277	-0.1063	330.4	-1 527c	25 527
R _{e,sRGB}	50.92	69.46	29.35	75.41	0.2737	-0.0582	22.9	-1 483c	16 483
Y _{e,sRGB}	83.64	-13.43	75.17	76.36	0.2136	-0.0439	100.1	33 567	13 469
G _{e,sRGB}	85.14	-73.16	5.26	73.35	0.1835	-0.0757	175.8	20 501	-1 501c
B _{e,sRGB}	59.21	-5.51	-75.62	75.82	0.2168	-0.1236	265.8	14 472	35 576

3-000630-L0

TF420-5N_7

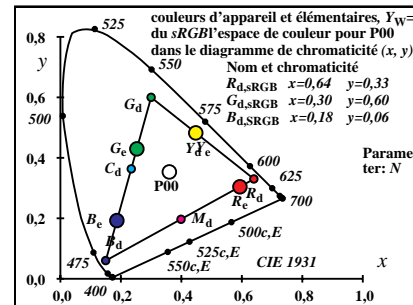
couleurs d'appareil et élémentaires du sRGB l'espace de couleur pour P00, $Y_w=100$

CodeD65	L* ₁₀₀	a* ₁₀₀	b* ₁₀₀	C* _{ab}	a'	b'	h _{ab}	i _d , λ* _d	i _c , λ* _c
R _{d,sRGB}	60.83	80.91	62.15	102.03	0.2732	-0.0376	37.5	-1 479c	15 479
Y _{d,sRGB}	97.98	-13.48	78.11	79.26	0.2147	-0.0438	99.7	33 567	13 469
G _{d,sRGB}	84.91	-94.28	64.61	114.3	0.1739	-0.046	145.5	26 532	-1 532c
C _{d,sRGB}	87.46	-64.9	-17.6	67.24	0.1892	-0.0866	195.1	17 485	-1 485c
B _{d,sRGB}	27.1	66.17	-103.16	122.56	0.2972	-0.1976	302.6	12 461	30 552
M _{d,sRGB}	65.11	91.72	-45.95	102.59	0.2771	-0.1064	333.3	-1 524c	24 524
R _{e,sRGB}	50.92	71.15	26.61	75.96	0.2737	-0.0582	20.5	-1 483c	16 483
Y _{e,sRGB}	83.64	-13.76	68.15	69.52	0.2137	-0.0439	101.4	33 566	13 469
G _{e,sRGB}	85.14	-74.94	4.77	75.09	0.1835	-0.0757	176.3	20 500	-1 500c
B _{e,sRGB}	59.21	-5.65	-68.54	68.78	0.2168	-0.1236	265.2	14 472	35 576

3-000630-L0

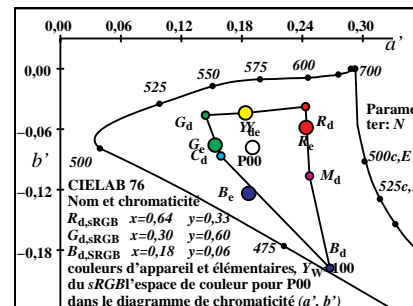
TF420-7N_7

TUB-test graphique TF42; sRGB: Basic and mixture colours entrée: w/rgb/cmyk -> w/rgb/cmyk-
 XYZ, YABCh, LabCh* data, $Y_w=100$, Parameter: Name
 sortie: aucun changement



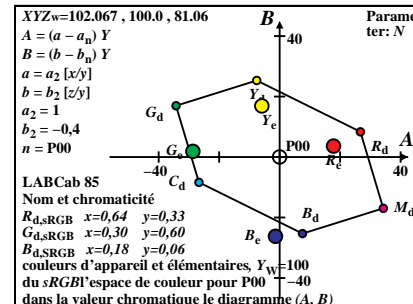
3-000630-L0

TF421-1N_7



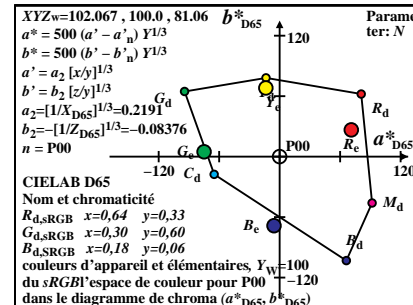
3-000630-L0

TF421-3N_7



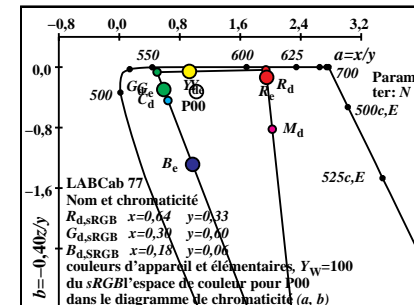
3-000630-L0

TF421-5N_7



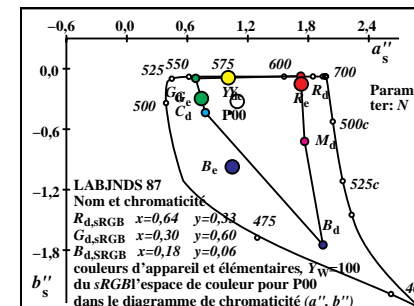
3-000630-L0

TF421-7N_7



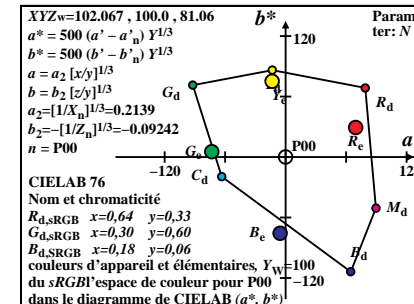
3-000630-L0

TF421-2N_7



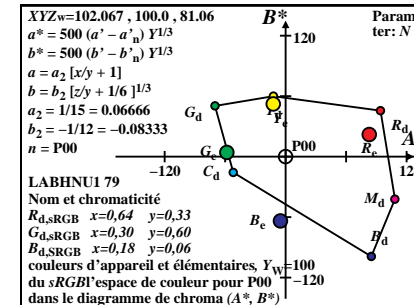
3-000630-L0

TF421-4N_7



3-000630-L0

TF421-6N_7



3-000630-L0

TF421-8N_7

couleurs d'appareil et élémentaires du sRGB l'espace de couleur pour Q00, $Y_w=100$

Code	X100	Y100	Z100	x	y	z	h_{xy}	i_d, λ_d	i_c, λ_c
R _{d,sRGB}	43.03	22.18	2.01	0.64	0.33	0.03	2.4	41 605	17 485
Y _{d,sRGB}	77.93	92.0	13.65	0.4245	0.5011	0.0743	58.0	33 566	11 459
G _{d,sRGB}	34.9	69.81	11.63	0.3	0.6	0.0999	91.8	28 544	-1 544c
C _{d,sRGB}	54.9	77.81	116.93	0.2199	0.3116	0.4684	182.4	17 485	41 605
B _{d,sRGB}	19.99	7.99	105.3	0.15	0.06	0.79	238.1	11 459	33 566
M _{d,sRGB}	63.02	30.18	107.31	0.3142	0.1505	0.5351	271.8	-1 544c	28 544
R _{e,sRGB}	37.43	19.19	6.44	0.5935	0.3043	0.1021	357.7	43 619	17 486
Y _{e,sRGB}	58.8	63.38	9.13	0.4478	0.4826	0.0695	50.2	34 570	13 468
G _{e,sRGB}	38.98	66.27	49.0	0.2526	0.4296	0.3176	116.2	22 512	-1 512c
B _{e,sRGB}	26.41	27.25	87.68	0.1868	0.1927	0.6203	225.1	14 472	34 572

3-000730-L0

TF420-1N_8

couleurs d'appareil et élémentaires du sRGB l'espace de couleur pour Q00, $Y_w=100$

Code	Y100	A100	B100	C _{AB}	a	b	h_{AB}	i_d, λ_d	i_c, λ_c
R _{d,sRGB}	22.18	21.3	9.75	23.42	1.9393	-0.0363	24.5	41 605	16 484
Y _{d,sRGB}	92.0	-12.16	38.31	40.19	0.8471	-0.0593	107.6	33 566	13 465
G _{d,sRGB}	69.81	-33.46	28.56	43.99	0.4999	-0.0666	139.5	29 545	-1 545c
C _{d,sRGB}	77.81	-21.3	-9.75	23.42	0.7055	-0.6011	204.5	17 487	-1 487c
B _{d,sRGB}	7.99	12.16	-38.31	40.19	2.4999	-5.2666	287.6	11 459	32 564
M _{d,sRGB}	30.18	33.46	-28.56	43.99	2.0879	-1.422	319.5	-1 531c	26 531
R _{e,sRGB}	19.19	18.63	6.55	19.75	1.9502	-0.1343	19.3	43 616	17 485
Y _{e,sRGB}	63.38	-3.26	26.5	26.7	0.9278	-0.0576	97.0	34 570	14 470
G _{e,sRGB}	66.27	-25.92	11.93	28.54	0.5881	-0.2957	155.2	24 524	-1 524c
B _{e,sRGB}	27.25	-0.27	-22.1	22.1	0.9694	-1.2869	269.3	14 472	34 571

3-000730-L0

TF420-3N_8

couleurs d'appareil et élémentaires du sRGB l'espace de couleur pour Q00, $Y_w=100$

Code	L*100	a*100	b*100	C* _{ab}	a'	b'	h_{ab}	i_d, λ^*_d	i_c, λ^*_c
R _{d,sRGB}	54.23	77.4	69.61	104.1	0.2732	-0.0376	41.9	-1 478c	15 478
Y _{d,sRGB}	96.82	-22.94	97.3	99.97	0.2072	-0.0443	103.2	32 562	13 469
G _{d,sRGB}	86.91	-89.03	85.24	123.26	0.1738	-0.046	136.2	27 535	9 449
C _{d,sRGB}	90.69	-47.6	-14.9	49.88	0.195	-0.0959	197.3	16 483	-1 483c
B _{d,sRGB}	33.99	78.95	-105.83	132.04	0.2971	-0.1976	306.7	12 461	28 544
M _{d,sRGB}	61.82	96.26	-59.08	112.94	0.2799	-0.1278	328.4	-1 524c	24 524
R _{e,sRGB}	50.92	74.42	39.66	84.33	0.2737	-0.0582	28.0	-1 480c	16 480
Y _{e,sRGB}	83.64	-7.66	86.76	87.1	0.2136	-0.0439	95.0	33 568	14 471
G _{e,sRGB}	85.14	-68.13	25.55	72.77	0.1835	-0.0757	159.4	22 513	-1 513c
B _{e,sRGB}	59.21	-1.09	-50.99	51.0	0.2168	-0.1236	268.7	14 472	34 573

3-000730-L0

TF420-5N_8

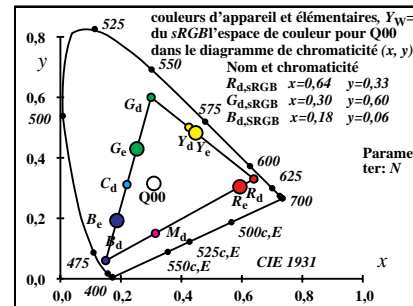
couleurs d'appareil et élémentaires du sRGB l'espace de couleur pour Q00, $Y_w=100$

CodeD65	L*100	a*100	b*100	C* _{ab}	a'	b'	h_{ab}	i_d, λ^*_d	i_c, λ^*_c
R _{d,sRGB}	54.23	78.2	71.78	106.15	0.2732	-0.0376	42.5	-1 478c	15 478
Y _{d,sRGB}	96.82	-23.17	100.23	102.87	0.2073	-0.0443	103.0	32 563	13 469
G _{d,sRGB}	86.91	-89.94	87.82	125.7	0.1739	-0.046	135.6	27 536	10 450
C _{d,sRGB}	90.69	-48.09	-15.35	50.48	0.195	-0.0959	197.7	16 483	-1 483c
B _{d,sRGB}	33.99	79.78	-109.03	135.1	0.2972	-0.1976	306.1	12 461	28 544
M _{d,sRGB}	61.82	97.24	-60.85	114.71	0.28	-0.1278	327.9	-1 524c	24 524
R _{e,sRGB}	50.92	75.19	40.87	85.58	0.2737	-0.0582	28.5	-1 480c	16 480
Y _{e,sRGB}	83.64	-7.74	89.38	89.72	0.2137	-0.0439	94.9	33 568	14 471
G _{e,sRGB}	85.14	-68.83	26.32	73.69	0.1835	-0.0757	159.0	22 513	-1 513c
B _{e,sRGB}	59.21	-1.1	-52.52	52.53	0.2168	-0.1236	268.7	14 472	34 573

3-000730-L0

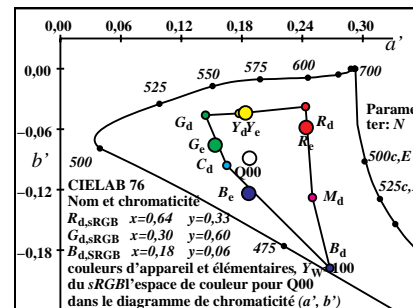
TF420-7N_8

TUB-test graphique TF42; sRGB: Basic and mixture colours entrée: w/rgb/cmyk -> w/rgb/cmyk-
 XYZ, YABCh, LabCh* data, $Y_w=100$, Parameter: Name
 sortie: aucun changement



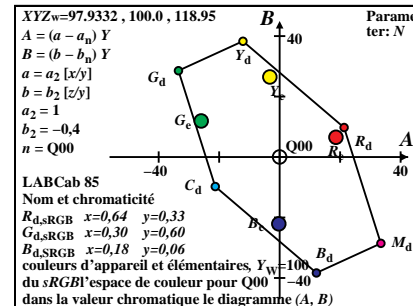
3-000730-L0

TF421-1N_8



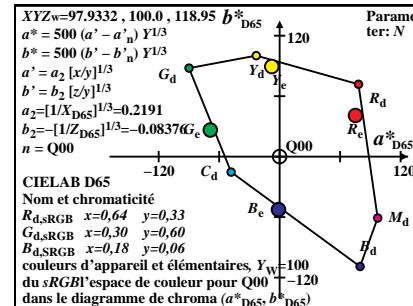
3-000730-L0

TF421-3N_8



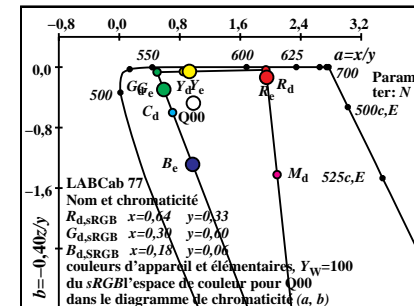
3-000730-L0

TF421-5N_8



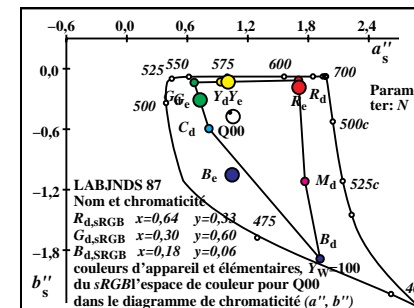
3-000730-L0

TF421-7N_8



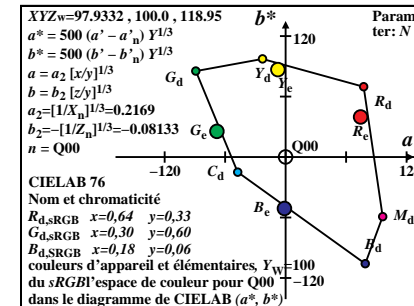
3-000730-L0

TF421-2N_8



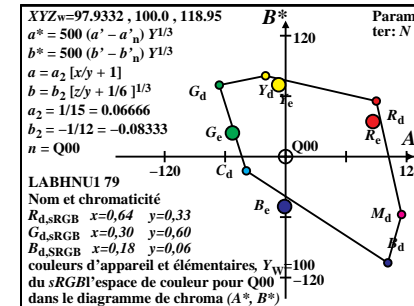
3-000730-L0

TF421-4N_8



3-000730-L0

TF421-6N_8



3-000730-L0

TF421-8N_8

TUB enregistrement: 20130201-TF42/TF42L0NP.PDF / PS
 application pour la mesure de sortie sur écran

TUB matériel: code=rh4ta

couleurs d'appareil et élémentaires du sRGB l'espace de couleur pour D65, $Y_{w,10}=100$

Code	X100	Y100	Z100	x	y	z	h_{xy}	i_d, λ_d	i_c, λ_c
R _{d,sRGB}	41.25	21.27	1.93	0.64	0.3299	0.03	359.8	41 608	16 480
Y _{d,sRGB}	77.06	92.9	13.87	0.4192	0.5053	0.0754	58.8	32 560	10 451
G _{d,sRGB}	35.81	71.63	11.93	0.3	0.6	0.0999	92.9	27 537	-1 537c
C _{d,sRGB}	53.56	78.72	105.4	0.2253	0.3312	0.4434	179.8	16 480	41 608
B _{d,sRGB}	17.74	7.09	93.46	0.1499	0.06	0.7899	238.8	10 451	32 560
M _{d,sRGB}	58.99	28.36	95.39	0.3228	0.1552	0.5219	272.9	-1 537c	27 537
R _{e,sRGB}	37.43	19.19	6.44	0.5935	0.3043	0.1021	354.5	47 635	16 481
Y _{e,sRGB}	58.8	63.38	9.13	0.4478	0.4826	0.0695	48.5	33 565	12 464
G _{e,sRGB}	38.98	66.27	49.0	0.2526	0.4296	0.3176	121.7	20 502	-1 502c
B _{e,sRGB}	26.41	27.25	87.68	0.1868	0.1927	0.6203	227.4	13 465	33 565

3-001030-L0

TF420-1N_1

couleurs d'appareil et élémentaires du sRGB l'espace de couleur pour D65, $Y_{w,10}=100$

Code	Y100	A100	B100	C _{AB}	a	b	h_{AB}	i_d, λ_d	i_c, λ_c
R _{d,sRGB}	21.27	21.08	8.35	22.68	1.9393	-0.0363	21.6	41 608	16 480
Y _{d,sRGB}	92.9	-11.01	34.33	36.06	0.8295	-0.0597	107.7	32 560	12 461
G _{d,sRGB}	71.63	-32.1	25.97	41.29	0.4999	-0.0666	141.0	27 538	-1 538c
C _{d,sRGB}	78.72	-21.08	-8.35	22.68	0.6803	-0.5355	201.6	16 480	43 617
B _{d,sRGB}	7.09	11.01	-34.33	36.06	2.4999	-5.2665	287.7	10 451	31 556
M _{d,sRGB}	28.36	32.1	-25.97	41.29	2.0796	-1.345	321.0	-1 527c	25 527
R _{e,sRGB}	19.19	19.23	5.66	20.05	1.9502	-0.1343	16.4	46 633	16 481
Y _{e,sRGB}	63.38	-1.28	23.55	23.59	0.9278	-0.0576	93.1	33 565	13 468
G _{e,sRGB}	66.27	-23.86	8.85	25.45	0.5881	-0.2957	159.6	22 510	-1 510c
B _{e,sRGB}	27.25	0.58	-23.37	23.37	0.9694	-1.2869	271.4	12 464	32 562

3-001030-L0

TF420-3N_1

couleurs d'appareil et élémentaires du sRGB l'espace de couleur pour D65, $Y_{w,10}=100$

Code	L*100	a*100	b*100	C* _{ab}	a'	b'	h_{ab}	i_d, λ_d^*	i_c, λ_c^*
R _{d,sRGB}	53.25	80.38	66.87	104.57	0.2732	-0.0376	39.7	-1 473c	14 473
Y _{d,sRGB}	97.19	-21.24	94.01	96.38	0.2058	-0.0444	102.7	31 555	12 463
G _{d,sRGB}	87.79	-85.92	82.74	119.28	0.1738	-0.046	136.0	25 529	7 435
C _{d,sRGB}	91.11	-48.35	-14.11	50.37	0.1926	-0.0923	196.2	15 477	-1 477c
B _{d,sRGB}	32.05	78.93	-108.14	133.88	0.2971	-0.1976	306.1	10 453	27 538
M _{d,sRGB}	60.22	98.31	-60.86	115.63	0.2796	-0.1254	328.2	-1 519c	23 519
R _{e,sRGB}	50.92	78.36	37.02	86.67	0.2737	-0.0582	25.2	-1 475c	15 475
Y _{e,sRGB}	83.64	-3.08	83.8	83.85	0.2136	-0.0439	92.1	32 564	13 465
G _{e,sRGB}	85.14	-64.14	20.37	67.3	0.1835	-0.0757	162.3	21 506	-1 506c
B _{e,sRGB}	59.21	2.4	-57.28	57.33	0.2168	-0.1236	272.4	13 465	32 564

3-001030-L0

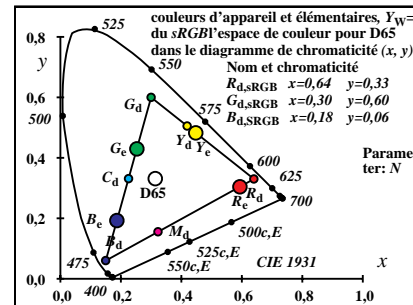
TF420-5N_1

couleurs d'appareil et élémentaires du sRGB l'espace de couleur pour D65, $Y_{w,10}=100$

CodeD65	L*100	a*100	b*100	C* _{ab}	a'	b'	h_{ab}	i_d, λ_d^*	i_c, λ_c^*
R _{d,sRGB}	53.25	80.34	66.63	104.38	0.2732	-0.0376	39.6	-1 473c	14 473
Y _{d,sRGB}	97.19	-21.23	93.58	95.96	0.2058	-0.0444	102.7	31 555	12 463
G _{d,sRGB}	87.79	-85.86	82.37	118.98	0.1739	-0.046	136.1	25 529	6 434
C _{d,sRGB}	91.11	-48.31	-14.04	50.32	0.1927	-0.0923	196.2	15 477	-1 477c
B _{d,sRGB}	32.05	78.92	-107.65	133.48	0.2972	-0.1976	306.2	10 453	27 538
M _{d,sRGB}	60.22	98.25	-60.58	115.42	0.2796	-0.1254	328.3	-1 519c	23 519
R _{e,sRGB}	50.92	78.32	36.87	86.56	0.2737	-0.0582	25.2	-1 475c	15 475
Y _{e,sRGB}	83.64	-3.08	83.42	83.48	0.2137	-0.0439	92.1	32 564	13 465
G _{e,sRGB}	85.14	-64.1	20.27	67.23	0.1835	-0.0757	162.4	21 506	-1 506c
B _{e,sRGB}	59.21	2.4	-57.02	57.07	0.2168	-0.1236	272.4	13 465	32 564

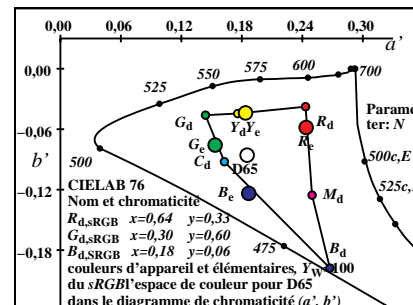
3-001030-L0

TF420-7N_1



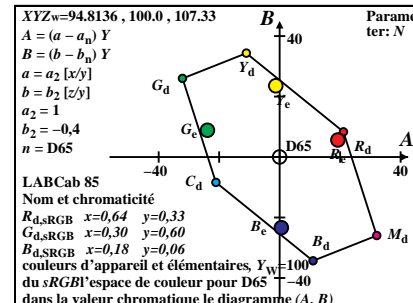
3-001030-L0

TF421-1N_1



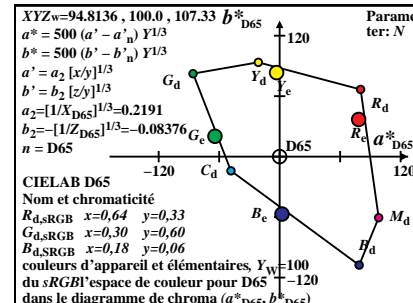
3-001030-L0

TF421-3N_1



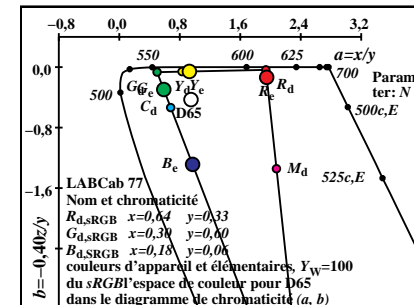
3-001030-L0

TF421-5N_1



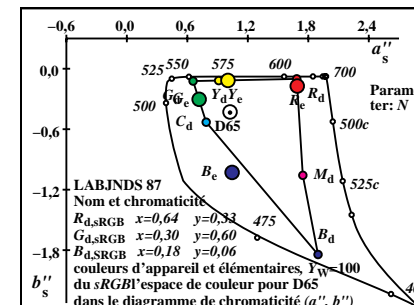
3-001030-L0

TF421-7N_1



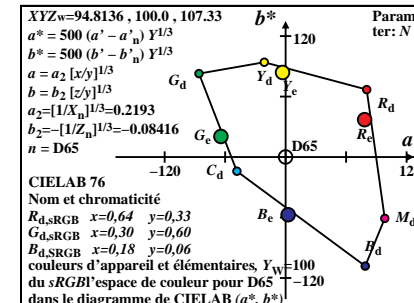
3-001030-L0

TF421-2N_1



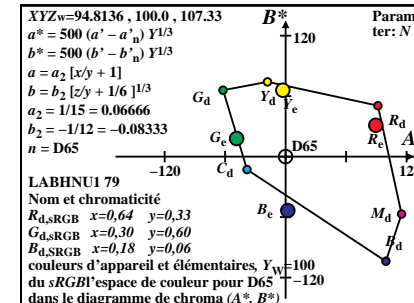
3-001030-L0

TF421-4N_1



3-001030-L0

TF421-6N_1



3-001030-L0

TF421-8N_1

couleurs d'appareil et élémentaires du sRGB l'espace de couleur pour D50, $Y_{w,10}=100$

Code	X100	Y100	Z100	x	y	z	h_{xy}	i_d, λ_d	i_c, λ_c
R _{d,sRGB}	49.13	25.33	2.3	0.64	0.3299	0.03	354.2	42 610	16 482
Y _{d,sRGB}	83.9	94.87	13.89	0.4354	0.4924	0.0721	56.5	32 562	10 451
G _{d,sRGB}	34.76	69.53	11.58	0.3	0.6	0.0999	101.2	26 534	-1 534c
C _{d,sRGB}	47.58	74.66	79.1	0.2363	0.3707	0.3928	174.2	16 482	42 610
B _{d,sRGB}	12.82	5.12	67.51	0.1499	0.0599	0.7899	236.5	10 451	32 562
M _{d,sRGB}	61.95	30.46	69.82	0.3818	0.1877	0.4303	281.2	-1 534c	26 534
R _{e,sRGB}	37.43	19.19	6.44	0.5935	0.3043	0.1021	347.3	58 962	16 484
Y _{e,sRGB}	58.8	63.38	9.13	0.4478	0.4826	0.0695	50.8	32 564	12 461
G _{e,sRGB}	38.98	66.27	49.0	0.2526	0.4296	0.3176	143.5	18 492	-1 492c
B _{e,sRGB}	26.41	27.25	87.68	0.1868	0.1927	0.6203	226.0	13 465	33 567

couleurs d'appareil et élémentaires du sRGB l'espace de couleur pour D50, $Y_{w,10}=100$

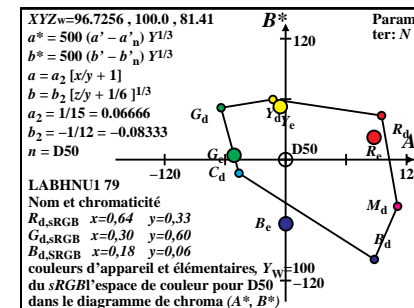
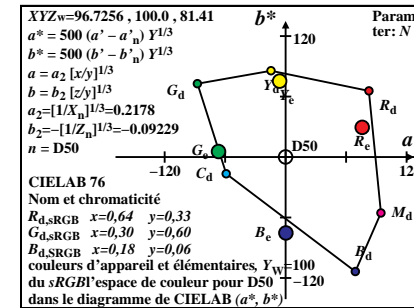
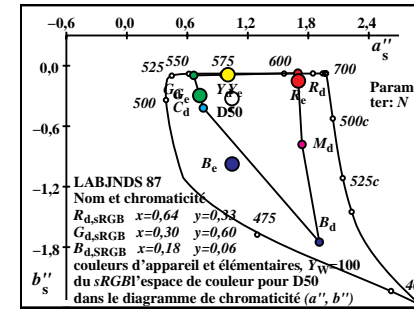
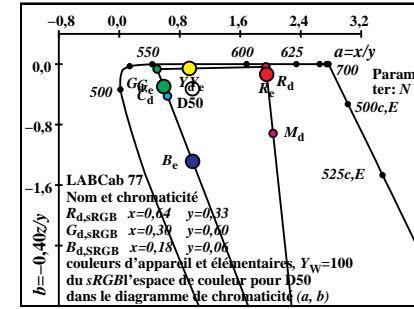
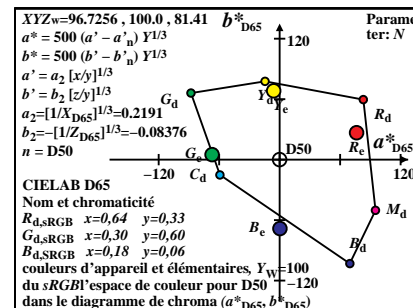
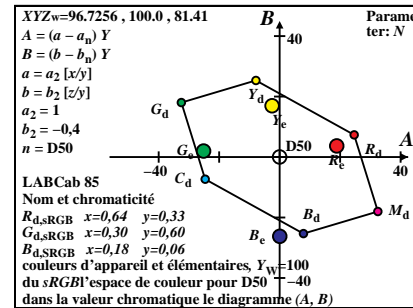
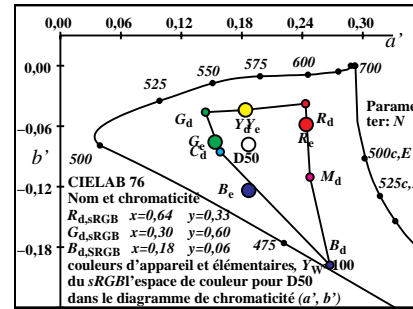
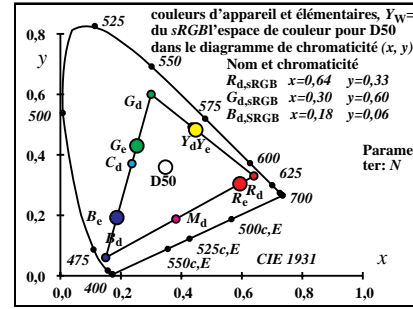
Code	Y100	A100	B100	C _{AB}	a	b	h_{AB}	i_d, λ_d	i_c, λ_c
R _{d,sRGB}	25.33	24.63	7.32	25.69	1.9393	-0.0363	16.5	42 612	17 486
Y _{d,sRGB}	94.87	-7.86	25.33	26.52	0.8844	-0.0585	107.2	32 562	11 456
G _{d,sRGB}	69.53	-32.49	18.0	37.14	0.4999	-0.0666	151.0	26 532	-1 532c
C _{d,sRGB}	74.66	-24.63	-7.32	25.69	0.6373	-0.4238	196.5	16 480	36 582
B _{d,sRGB}	5.12	7.85	-25.33	26.52	2.4999	-5.2665	287.2	10 451	32 562
M _{d,sRGB}	30.46	32.49	-18.0	37.14	2.0337	-0.9167	331.0	-1 544c	28 544
R _{e,sRGB}	19.19	18.86	3.67	19.22	1.9502	-0.1343	11.0	-1 488c	17 488
Y _{e,sRGB}	63.38	-2.49	16.98	17.16	0.9278	-0.0576	98.3	33 565	13 465
G _{e,sRGB}	66.27	-05.12	1.98	25.2	0.5881	-0.2957	175.4	17 488	-1 488c
B _{e,sRGB}	27.25	0.25	-26.19	26.19	0.9694	-1.2869	270.1	13 465	33 565

couleurs d'appareil et élémentaires du sRGB l'espace de couleur pour D50, $Y_{w,10}=100$

Code	L*100	a*100	b*100	C* _{ab}	a'	b'	h_{ab}	i_d, λ_d^*	i_c, λ_c^*
R _{d,sRGB}	57.41	82.55	65.55	105.41	0.2732	-0.0376	38.4	-1 473c	14 473
Y _{d,sRGB}	97.98	-14.44	85.57	86.78	0.2102	-0.0441	99.5	31 559	12 463
G _{d,sRGB}	86.77	-87.44	72.74	113.74	0.1738	-0.046	140.2	25 529	-1 529c
C _{d,sRGB}	89.23	-58.87	-16.65	61.18	0.1885	-0.0853	195.7	15 479	-1 479c
B _{d,sRGB}	27.12	69.11	-113.56	132.93	0.2971	-0.1976	301.3	11 455	28 544
M _{d,sRGB}	62.06	94.56	-55.43	109.61	0.2775	-0.1104	329.6	-1 521c	24 521
R _{e,sRGB}	50.92	75.93	29.47	81.45	0.2737	-0.0582	21.2	-1 477c	15 477
Y _{e,sRGB}	83.64	-5.91	75.31	75.54	0.2136	-0.0439	94.4	32 563	12 464
G _{e,sRGB}	85.14	-66.61	5.5	66.83	0.1835	-0.0757	175.2	19 495	-1 495c
B _{e,sRGB}	59.21	0.24	-75.33	75.33	0.2168	-0.1236	270.1	13 465	33 566

couleurs d'appareil et élémentaires du sRGB l'espace de couleur pour D50, $Y_{w,10}=100$

CodeD65	L*100	a*100	b*100	C* _{ab}	a'	b'	h_{ab}	i_d, λ_d^*	i_c, λ_c^*
R _{d,sRGB}	57.41	83.05	59.55	102.19	0.2732	-0.0376	35.6	-1 474c	14 474
Y _{d,sRGB}	97.98	-14.53	77.68	79.02	0.2103	-0.0441	100.5	31 558	12 463
G _{d,sRGB}	86.77	-87.97	66.03	110.0	0.1739	-0.046	143.1	25 527	-1 527c
C _{d,sRGB}	89.23	-59.22	-15.11	61.12	0.1885	-0.0853	194.3	15 479	-1 479c
B _{d,sRGB}	27.12	69.57	-103.1	124.38	0.2972	-0.1976	304.0	10 453	28 542
M _{d,sRGB}	62.06	95.13	-50.32	107.62	0.2775	-0.1104	332.1	-1 519c	23 519
R _{e,sRGB}	50.92	76.39	26.76	80.95	0.2737	-0.0582	19.3	-1 478c	15 478
Y _{e,sRGB}	83.64	-5.95	68.37	68.63	0.2137	-0.0439	94.9	32 563	12 464
G _{e,sRGB}	85.14	-67.01	4.99	67.19	0.1835	-0.0757	175.7	18 494	-1 494c
B _{e,sRGB}	59.21	0.24	-68.38	68.38	0.2168	-0.1236	270.2	13 465	33 566



couleurs d'appareil et élémentaires du sRGB l'espace de couleur pour P40, $Y_{w,10}=100$

Code	X100	Y100	Z100	x	y	z	h_{xy}	i_d, λ_d	i_c, λ_c
R _{d,sRGB}	59.34	30.59	2.78	0.6399	0.3299	0.0299	349.9	42 611	16 484
Y _{d,sRGB}	92.11	96.14	13.7	0.456	0.476	0.0678	53.6	33 565	10 452
G _{d,sRGB}	32.77	65.54	10.92	0.3	0.6	0.0999	110.1	26 531	-1 531c
C _{d,sRGB}	42.4	69.4	61.66	0.2444	0.4	0.3554	169.9	16 484	42 611
B _{d,sRGB}	9.63	3.85	50.74	0.15	0.0599	0.79	233.6	10 452	33 565
M _{d,sRGB}	68.97	34.45	53.52	0.4394	0.2195	0.341	290.1	-1 531c	26 531
R _{e,sRGB}	37.43	19.19	6.44	0.5935	0.3043	0.1021	341.3	-1 487c	17 487
Y _{e,sRGB}	58.8	63.38	9.13	0.4478	0.4826	0.0695	58.4	32 564	5 425
G _{e,sRGB}	38.98	66.27	49.0	0.2526	0.4296	0.3176	157.3	17 488	-1 488c
B _{e,sRGB}	26.41	27.25	87.68	0.1868	0.1927	0.6203	223.1	13 466	33 569

3-001230-L0

TF420-IN_3

couleurs d'appareil et élémentaires du sRGB l'espace de couleur pour P40, $Y_{w,10}=100$

Code	Y100	A100	B100	C _{AB}	a	b	h_{AB}	i_d, λ_d	i_c, λ_c
R _{d,sRGB}	30.59	28.2	6.77	29.01	1.9393	-0.0363	13.5	46 630	18 494
Y _{d,sRGB}	96.14	-5.71	19.3	20.13	0.958	-0.057	106.4	32 563	-1 563c
G _{d,sRGB}	65.54	-33.92	12.52	36.16	0.4999	-0.0666	159.7	22 514	-1 514c
C _{d,sRGB}	69.4	-28.2	-6.77	29.01	0.611	-0.3554	193.5	16 481	33 577
B _{d,sRGB}	3.85	5.71	-19.3	20.13	2.4999	-5.2665	286.4	10 452	33 568
M _{d,sRGB}	34.45	33.92	-12.52	36.16	2.002	-0.6214	339.7	-1 560c	32 560
R _{e,sRGB}	19.19	17.9	2.36	18.05	1.9502	-0.1343	7.5	-1 502c	20 502
Y _{e,sRGB}	63.38	-5.68	12.68	13.9	0.9278	-0.0576	114.1	32 560	-1 560c
G _{e,sRGB}	66.27	-28.46	-2.51	28.57	0.5881	-0.2957	185.0	16 484	36 580
B _{e,sRGB}	27.25	-1.31	-28.04	28.07	0.9694	-1.2869	267.3	13 466	34 570

3-001230-L0

TF420-3N_3

couleurs d'appareil et élémentaires du sRGB l'espace de couleur pour P40, $Y_{w,10}=100$

Code	L*100	a*100	b*100	C* _{ab}	a'	b'	h_{ab}	i_d, λ^*_d	i_c, λ^*_c
R _{d,sRGB}	62.17	80.8	64.57	103.43	0.2732	-0.0376	38.6	-1 474c	14 474
Y _{d,sRGB}	98.49	-9.79	78.0	78.61	0.2159	-0.0437	97.1	32 563	12 463
G _{d,sRGB}	84.77	-91.57	63.03	111.17	0.1738	-0.046	145.4	25 529	-1 529c
C _{d,sRGB}	86.7	-69.18	-20.0	72.02	0.1859	-0.0805	196.1	16 480	-1 480c
B _{d,sRGB}	23.21	58.93	-117.07	131.07	0.2971	-0.1976	296.7	11 456	30 550
M _{d,sRGB}	65.32	88.69	-47.77	100.74	0.2761	-0.0969	331.6	-1 523c	24 523
R _{e,sRGB}	50.92	69.83	22.52	73.37	0.2737	-0.0582	17.8	-1 479c	15 479
Y _{e,sRGB}	83.64	-13.0	67.5	68.74	0.2136	-0.0439	100.9	32 561	12 462
G _{e,sRGB}	85.14	-72.79	-8.17	73.25	0.1835	-0.0757	186.4	17 485	-1 485c
B _{e,sRGB}	59.21	-5.18	-91.93	92.08	0.2168	-0.1236	266.7	13 465	34 571

3-001230-L0

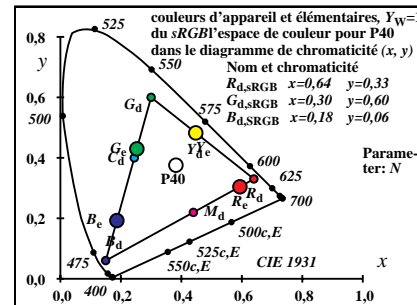
TF420-5N_3

couleurs d'appareil et élémentaires du sRGB l'espace de couleur pour P40, $Y_{w,10}=100$

CodeD65	L*100	a*100	b*100	C* _{ab}	a'	b'	h_{ab}	i_d, λ^*_d	i_c, λ^*_c
R _{d,sRGB}	62.17	82.67	54.25	98.88	0.2732	-0.0376	33.2	-1 475c	15 475
Y _{d,sRGB}	98.49	-10.02	65.5	66.26	0.216	-0.0437	98.7	32 562	12 463
G _{d,sRGB}	84.77	-93.69	52.93	107.61	0.1739	-0.046	150.5	24 524	-1 524c
C _{d,sRGB}	86.7	-70.78	-16.79	72.75	0.1859	-0.0805	193.3	16 481	-1 481c
B _{d,sRGB}	23.21	60.36	-98.33	115.38	0.2972	-0.1976	301.5	10 453	29 547
M _{d,sRGB}	65.32	90.75	-40.12	99.22	0.2761	-0.0969	336.1	-1 519c	23 519
R _{e,sRGB}	50.92	71.45	18.91	73.91	0.2737	-0.0582	14.8	-1 480c	16 480
Y _{e,sRGB}	83.64	-13.3	56.69	58.23	0.2137	-0.0439	103.2	31 559	12 462
G _{e,sRGB}	85.14	-74.47	-6.86	74.79	0.1835	-0.0757	185.2	17 486	-1 486c
B _{e,sRGB}	59.21	-5.3	-77.19	77.38	0.2168	-0.1236	266.0	13 466	34 571

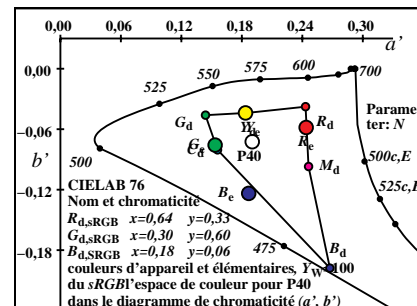
3-001230-L0

TF420-7N_3



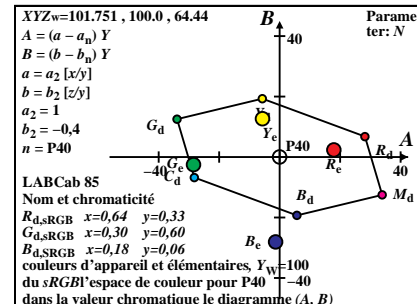
3-001230-L0

TF421-IN_3



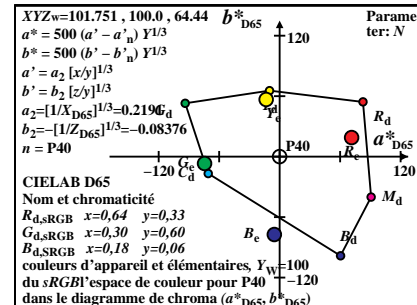
3-001230-L0

TF421-3N_3



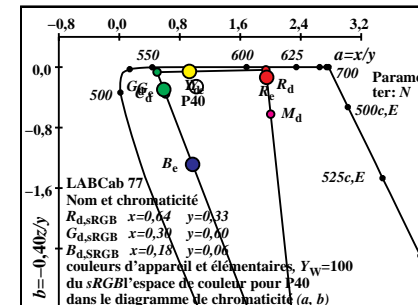
3-001230-L0

TF421-5N_3



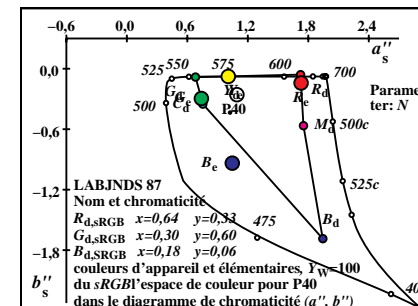
3-001230-L0

TF421-7N_3



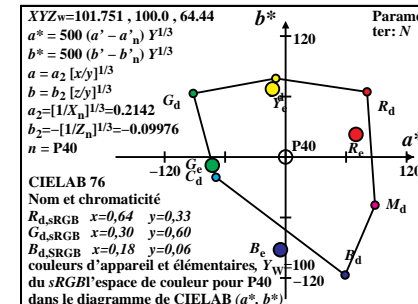
3-001230-L0

TF421-2N_3



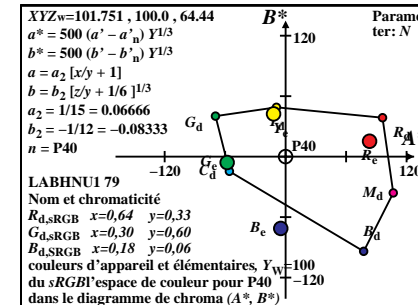
3-001230-L0

TF421-4N_3



3-001230-L0

TF421-6N_3



3-001230-L0

TF421-8N_3

couleurs d'appareil et élémentaires du sRGB l'espace de couleur pour A00, $Y_{w,10}=100$

Code	X100	Y100	Z100	x	y	z	h_{xy}	i_d, λ_d	i_c, λ_c
R _{d,sRGB}	77.91	40.17	3.65	0.64	0.33	0.03	338.1	44 620	18 490
Y _{d,sRGB}	107.0	98.34	13.34	0.4892	0.4496	0.061	48.8	34 571	10 452
G _{d,sRGB}	29.08	58.16	9.69	0.3	0.6	0.0999	127.9	23 516	-1 516c
C _{d,sRGB}	33.23	59.82	31.54	0.2666	0.4801	0.2531	158.0	18 490	44 620
B _{d,sRGB}	4.14	1.65	21.85	0.1499	0.0599	0.79	228.9	10 452	34 571
M _{d,sRGB}	82.06	41.83	25.5	0.5492	0.28	0.1707	307.9	-1 516c	23 516
R _{e,sRGB}	37.43	19.19	6.44	0.5935	0.3043	0.1021	324.4	-1 497c	19 497
Y _{e,sRGB}	58.8	63.38	9.13	0.4478	0.4826	0.0695	92.4	31 559	-1 559c
G _{e,sRGB}	38.98	66.27	49.0	0.2526	0.4296	0.3176	173.1	17 485	38 590
B _{e,sRGB}	26.41	27.25	87.68	0.1868	0.1927	0.6203	218.8	13 467	34 573

3-001330-L0

TF420-1N_4

couleurs d'appareil et élémentaires du sRGB l'espace de couleur pour A00, $Y_{w,10}=100$

Code	Y100	A100	B100	C _{AB}	a	b	h_{AB}	i_d, λ_d	i_c, λ_c
R _{d,sRGB}	40.17	33.26	4.19	33.52	1.9393	-0.0363	7.1	-1 597c	39 597
Y _{d,sRGB}	98.34	-2.3	8.5	8.81	1.088	-0.0542	105.1	15 476	34 573
G _{d,sRGB}	58.16	-35.56	4.31	35.82	0.4999	-0.0666	173.0	18 494	31 557
C _{d,sRGB}	59.82	-33.26	-4.19	33.52	0.5554	-0.2109	187.1	17 485	33 567
B _{d,sRGB}	1.65	2.3	-8.5	8.81	2.4998	-5.2663	285.1	10 452	35 578
M _{d,sRGB}	41.83	35.56	-4.31	35.82	1.9616	-0.2438	353.0	-1 585c	37 585
R _{e,sRGB}	19.19	16.09	0.12	16.09	1.9502	-0.1343	0.4	-1 589c	37 589
Y _{e,sRGB}	63.38	-11.64	5.27	12.77	0.9278	-0.0576	155.6	16 483	33 569
G _{e,sRGB}	66.27	-34.68	-10.27	36.17	0.5881	-0.2957	196.4	16 482	34 570
B _{e,sRGB}	27.25	-3.87	-31.23	31.47	0.9694	-1.2869	262.9	13 467	35 576

3-001330-L0

TF420-3N_4

couleurs d'appareil et élémentaires du sRGB l'espace de couleur pour A00, $Y_{w,10}=100$

Code	L*100	a*100	b*100	C* _{ab}	a'	b'	h_{ab}	i_d, λ_d^*	i_c, λ_c^*
R _{d,sRGB}	69.6	75.21	53.57	92.34	0.2732	-0.0376	35.4	-1 475c	15 475
Y _{d,sRGB}	99.35	-3.51	54.12	54.23	0.2253	-0.043	93.7	34 570	12 463
G _{d,sRGB}	80.83	-97.55	36.81	104.27	0.1738	-0.046	159.3	25 525	-1 525c
C _{d,sRGB}	81.74	-86.95	-24.3	90.28	0.18	-0.0676	195.6	16 482	-1 482c
B _{d,sRGB}	13.64	39.45	-119.5	125.85	0.2971	-0.1976	288.2	11 458	32 561
M _{d,sRGB}	70.76	77.94	-30.05	83.54	0.2742	-0.071	338.9	-1 525c	25 525
R _{e,sRGB}	50.92	59.43	1.79	59.46	0.2737	-0.0582	1.7	-1 495c	19 495
Y _{e,sRGB}	83.64	-25.09	44.22	50.84	0.2136	-0.0439	119.5	30 554	10 451
G _{e,sRGB}	85.14	-83.33	-48.94	96.64	0.1835	-0.0757	210.4	15 477	-1 477c
B _{e,sRGB}	59.21	-14.44	-141.43	142.17	0.2168	-0.1236	264.1	13 465	35 576

3-001330-L0

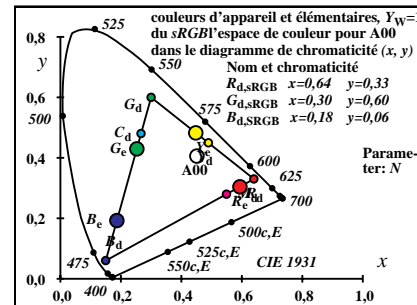
TF420-5N_4

couleurs d'appareil et élémentaires du sRGB l'espace de couleur pour A00, $Y_{w,10}=100$

CodeD65	L*100	a*100	b*100	C* _{ab}	a'	b'	h_{ab}	i_d, λ_d^*	i_c, λ_c^*
R _{d,sRGB}	69.6	79.25	36.78	87.37	0.2732	-0.0376	24.8	-1 478c	15 478
Y _{d,sRGB}	99.35	-3.7	37.15	37.33	0.2253	-0.043	95.6	33 569	12 463
G _{d,sRGB}	80.83	-102.8	25.27	105.86	0.1739	-0.046	166.1	23 517	-1 517c
C _{d,sRGB}	81.74	-91.62	-16.68	93.13	0.1801	-0.0676	190.3	17 485	-1 485c
B _{d,sRGB}	13.64	41.68	-82.08	92.05	0.2972	-0.1976	296.9	10 453	31 555
M _{d,sRGB}	70.76	82.13	-20.62	84.68	0.2742	-0.071	345.9	-1 517c	23 517
R _{e,sRGB}	50.92	62.63	1.23	62.65	0.2737	-0.0582	1.1	-1 496c	19 496
Y _{e,sRGB}	83.64	-26.44	30.35	40.25	0.2137	-0.0439	131.0	29 548	6 433
G _{e,sRGB}	85.14	-87.8	-33.59	94.01	0.1835	-0.0757	200.9	16 480	-1 480c
B _{e,sRGB}	59.21	-15.22	-97.07	98.26	0.2168	-0.1236	261.0	13 466	35 578

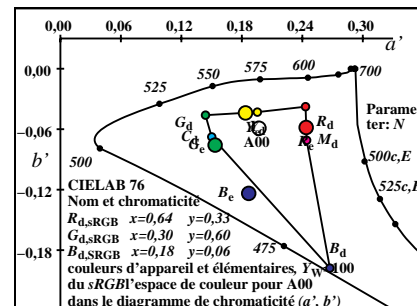
3-001330-L0

TF420-7N_4



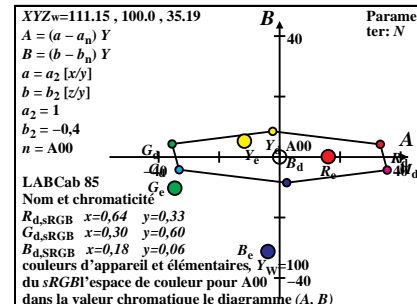
3-001330-L0

TF421-1N_4



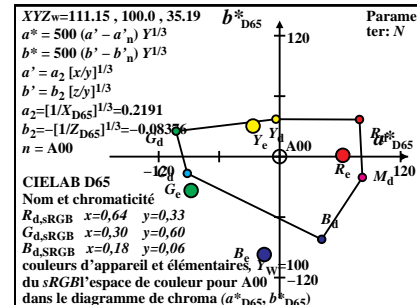
3-001330-L0

TF421-3N_4



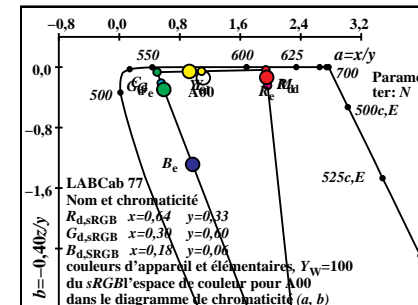
3-001330-L0

TF421-5N_4



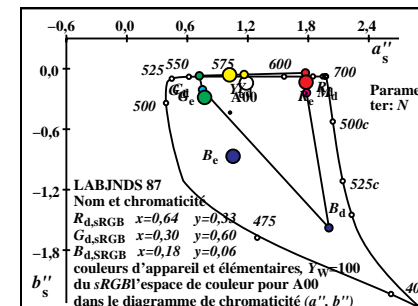
3-001330-L0

TF421-7N_4



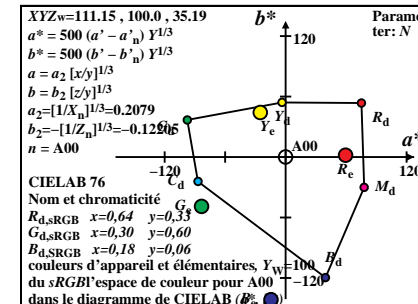
3-001330-L0

TF421-2N_4



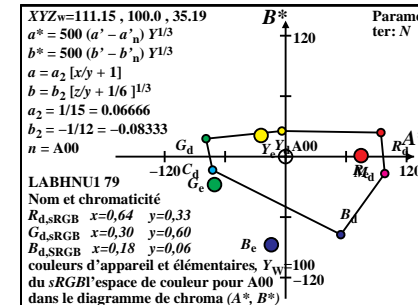
3-001330-L0

TF421-4N_4



3-001330-L0

TF421-6N_4



3-001330-L0

TF421-8N_4

couleurs d'appareil et élémentaires du sRGB l'espace de couleur pour E00, $Y_{w,10}=100$

Code	X100	Y100	Z100	x	y	z	h_{xy}	i_d, λ_d	i_c, λ_c
R _{d,sRGB}	49.67	25.61	2.32	0.64	0.3299	0.0299	359.3	41 608	16 480
Y _{d,sRGB}	83.59	93.43	13.63	0.4384	0.49	0.0715	56.1	32 563	10 452
G _{d,sRGB}	33.91	67.82	11.3	0.3	0.6	0.0999	97.0	27 536	-1 536c
C _{d,sRGB}	50.31	74.38	97.68	0.2262	0.3344	0.4392	179.3	16 480	41 608
B _{d,sRGB}	16.4	6.56	86.37	0.15	0.06	0.79	236.1	10 452	32 563
M _{d,sRGB}	66.07	32.17	88.7	0.3534	0.172	0.4744	277.1	-1 536c	27 536
R _{e,sRGB}	37.43	19.19	6.44	0.5935	0.3043	0.1021	353.6	47 637	16 481
Y _{e,sRGB}	58.8	63.38	9.13	0.4478	0.4826	0.0695	52.4	32 564	11 458
G _{e,sRGB}	38.98	66.27	49.0	0.2526	0.4296	0.3176	129.8	19 497	-1 497c
B _{e,sRGB}	26.41	27.25	87.68	0.1868	0.1927	0.6203	223.8	13 466	33 568

3-001430-L0

TF420-IN_5

couleurs d'appareil et élémentaires du sRGB l'espace de couleur pour E00, $Y_{w,10}=100$

Code	Y100	A100	B100	C _{AB}	a	b	h_{AB}	i_d, λ_d	i_c, λ_c
R _{d,sRGB}	25.61	24.06	9.31	25.8	1.9393	-0.0363	21.1	41 608	16 480
Y _{d,sRGB}	93.43	-9.84	31.92	33.4	0.8945	-0.0583	107.1	32 563	10 452
G _{d,sRGB}	67.82	-33.9	22.61	40.75	0.4999	-0.0666	146.3	27 536	-1 536c
C _{d,sRGB}	74.38	-24.06	-9.31	25.8	0.6763	-0.5252	201.1	16 480	41 608
B _{d,sRGB}	6.56	9.84	-31.92	33.4	2.4999	-5.2665	287.1	10 452	32 563
M _{d,sRGB}	32.17	33.9	-22.61	40.75	2.0536	-1.1027	326.3	-1 536c	27 536
R _{e,sRGB}	19.19	18.24	5.1	18.94	1.9502	-0.1343	15.6	47 637	16 481
Y _{e,sRGB}	63.38	-4.56	21.7	22.17	0.9278	-0.0576	101.8	32 564	11 458
G _{e,sRGB}	66.27	-27.29	6.91	28.15	0.5881	-0.2957	165.7	19 497	-1 497c
B _{e,sRGB}	27.25	-0.83	-24.17	24.18	0.9694	-1.2869	268.0	13 466	33 568

3-001430-L0

TF420-3N_5

couleurs d'appareil et élémentaires du sRGB l'espace de couleur pour E00, $Y_{w,10}=100$

Code	L*100	a*100	b*100	C* _{ab}	a'	b'	h_{ab}	i_d, λ_d^*	i_c, λ_c^*
R _{d,sRGB}	57.67	78.45	69.84	105.03	0.2732	-0.0376	41.6	-1 472c	14 472
Y _{d,sRGB}	97.4	-17.8	92.57	94.27	0.211	-0.044	100.8	31 559	12 463
G _{d,sRGB}	85.92	-90.6	79.0	120.21	0.1738	-0.046	138.9	25 529	2 413
C _{d,sRGB}	89.1	-55.33	-17.22	57.95	0.1923	-0.0917	197.2	15 477	-1 477c
B _{d,sRGB}	30.8	71.99	-109.76	131.27	0.2971	-0.1976	303.2	10 454	28 542
M _{d,sRGB}	63.49	92.88	-55.1	108.0	0.2784	-0.1174	329.3	-1 520c	24 520
R _{e,sRGB}	50.92	71.92	35.16	80.05	0.2737	-0.0582	26.0	-1 475c	15 475
Y _{e,sRGB}	83.64	-10.57	81.7	82.38	0.2136	-0.0439	97.3	32 562	12 464
G _{e,sRGB}	85.14	-70.67	16.69	72.62	0.1835	-0.0757	166.7	20 503	-1 503c
B _{e,sRGB}	59.21	-3.32	-61.74	61.83	0.2168	-0.1236	266.9	13 466	34 570

3-001430-L0

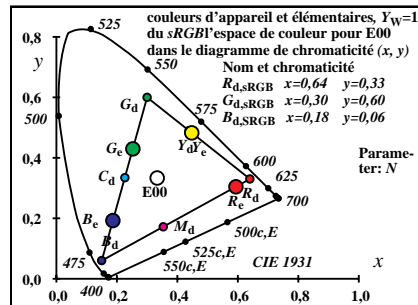
TF420-5N_5

couleurs d'appareil et élémentaires du sRGB l'espace de couleur pour E00, $Y_{w,10}=100$

CodeD65	L*100	a*100	b*100	C* _{ab}	a'	b'	h_{ab}	i_d, λ_d^*	i_c, λ_c^*
R _{d,sRGB}	57.67	79.8	67.95	104.81	0.2732	-0.0376	40.4	-1 472c	14 472
Y _{d,sRGB}	97.4	-18.1	90.0	91.81	0.2111	-0.044	101.3	31 558	12 463
G _{d,sRGB}	85.92	-92.16	76.81	119.97	0.1739	-0.046	140.1	25 528	-1 528c
C _{d,sRGB}	89.1	-56.29	-16.74	58.72	0.1923	-0.0917	196.5	15 477	-1 477c
B _{d,sRGB}	30.8	73.27	-106.73	129.46	0.2972	-0.1976	304.4	10 453	28 541
M _{d,sRGB}	63.49	94.48	-53.57	108.61	0.2784	-0.1174	330.4	-1 519c	23 519
R _{e,sRGB}	50.92	73.16	34.19	80.76	0.2737	-0.0582	25.0	-1 475c	15 475
Y _{e,sRGB}	83.64	-10.76	79.44	80.17	0.2137	-0.0439	97.7	32 562	12 464
G _{e,sRGB}	85.14	-71.89	16.23	73.7	0.1835	-0.0757	167.2	20 502	-1 502c
B _{e,sRGB}	59.21	-3.38	-60.02	60.12	0.2168	-0.1236	266.7	13 466	34 571

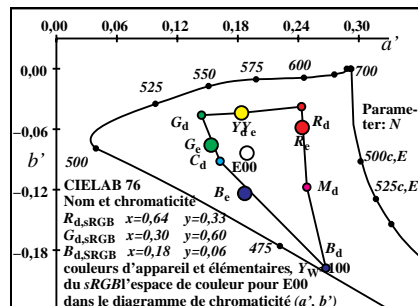
3-001430-L0

TF420-7N_5



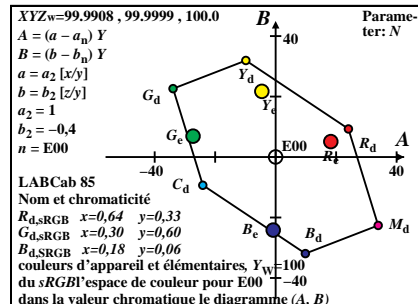
3-001430-L0

TF421-IN_5



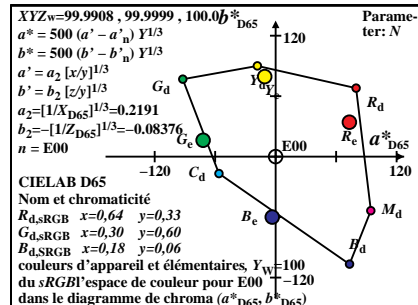
3-001430-L0

TF421-3N_5



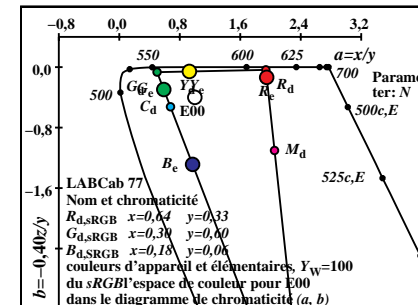
3-001430-L0

TF421-5N_5



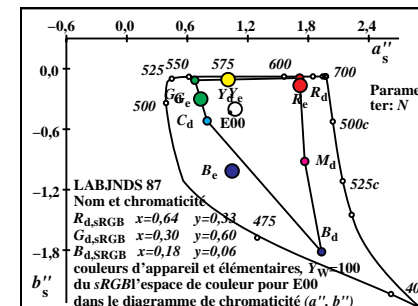
3-001430-L0

TF421-7N_5



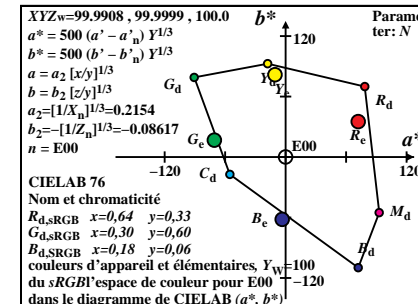
3-001430-L0

TF421-2N_5



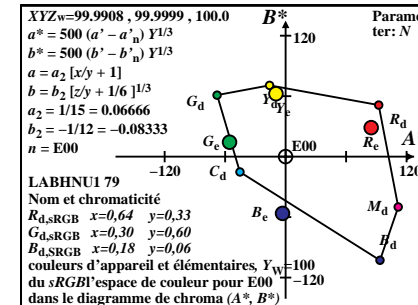
3-001430-L0

TF421-4N_5



3-001430-L0

TF421-6N_5



3-001430-L0

TF421-8N_5

couleurs d'appareil et élémentaires du sRGB l'espace de couleur pour C00, $Y_{w,10}=100$

Code	X ₁₀₀	Y ₁₀₀	Z ₁₀₀	x	y	z	h_{xy}	i_d, λ_d	i_c, λ_c
R _{d,sRGB}	42.74	22.04	2.0	0.64	0.3299	0.0299	1.9	41 608	15 479
Y _{d,sRGB}	77.83	92.21	13.7	0.4235	0.5018	0.0745	58.2	32 560	10 451
G _{d,sRGB}	35.08	70.17	11.69	0.3	0.6	0.0999	92.0	27 537	-1 537c
C _{d,sRGB}	54.54	77.95	114.14	0.2211	0.316	0.4627	181.9	15 479	41 608
B _{d,sRGB}	19.45	7.78	102.44	0.15	0.06	0.79	238.2	10 451	32 560
M _{d,sRGB}	62.19	29.82	104.44	0.3165	0.1517	0.5316	272.1	-1 537c	27 537
R _{e,sRGB}	37.43	19.19	6.44	0.5935	0.3043	0.1021	357.0	46 630	16 480
Y _{e,sRGB}	58.8	63.38	9.13	0.4478	0.4826	0.0695	49.9	33 565	12 462
G _{e,sRGB}	38.98	66.27	49.0	0.2526	0.4296	0.3176	117.5	21 505	-1 505c
B _{e,sRGB}	26.41	27.25	87.68	0.1868	0.1927	0.6203	225.6	13 465	33 567

3-001530-L0

TF420-IN_6

couleurs d'appareil et élémentaires du sRGB l'espace de couleur pour C00, $Y_{w,10}=100$

Code	Y ₁₀₀	A ₁₀₀	B ₁₀₀	C _{AB}	a	b	h_{AB}	i_d, λ_d	i_c, λ_c
R _{d,sRGB}	22.04	21.3	9.43	23.3	1.9393	-0.0363	23.8	41 607	15 478
Y _{d,sRGB}	92.21	-11.88	37.36	39.2	0.844	-0.0594	107.6	32 561	11 459
G _{d,sRGB}	70.17	-33.18	27.92	43.37	0.4999	-0.0666	139.9	27 538	-1 538c
C _{d,sRGB}	77.95	-21.3	-9.43	23.3	0.6996	-0.5856	203.8	16 480	-1 480c
B _{d,sRGB}	7.78	11.88	-37.36	39.2	2.4999	-5.2665	287.6	10 451	31 558
M _{d,sRGB}	29.82	33.18	-27.92	43.37	2.0856	-1.4009	319.9	-1 525c	25 525
R _{e,sRGB}	19.19	18.76	6.33	19.8	1.9502	-0.1343	18.6	45 625	15 479
Y _{e,sRGB}	63.38	-2.85	25.79	25.95	0.9278	-0.0576	96.3	33 565	13 465
G _{e,sRGB}	66.27	-25.5	11.18	27.84	0.5881	-0.2957	156.3	23 517	-1 517c
B _{e,sRGB}	27.25	-0.09	-22.41	22.41	0.9694	-1.2869	269.7	13 465	33 565

3-001530-L0

TF420-3N_6

couleurs d'appareil et élémentaires du sRGB l'espace de couleur pour C00, $Y_{w,10}=100$

Code	L* ₁₀₀	a* ₁₀₀	b* ₁₀₀	C* _{ab}	a'	b'	h_{ab}	i_d, λ_d^*	i_c, λ_c^*
R _{d,sRGB}	54.08	78.07	69.05	104.22	0.2732	-0.0376	41.4	-1 472c	14 472
Y _{d,sRGB}	96.91	-22.5	96.56	99.15	0.207	-0.0443	103.1	31 555	12 463
G _{d,sRGB}	87.08	-88.4	84.65	122.4	0.1738	-0.046	136.2	25 529	7 435
C _{d,sRGB}	90.76	-47.89	-14.77	50.11	0.1944	-0.0951	197.1	15 477	-1 477c
B _{d,sRGB}	33.54	78.87	-106.39	132.44	0.2971	-0.1976	306.5	10 452	27 537
M _{d,sRGB}	61.5	96.66	-59.41	113.47	0.2798	-0.1271	328.4	-1 518c	23 518
R _{e,sRGB}	50.92	75.23	39.05	84.76	0.2737	-0.0582	27.4	-1 474c	14 474
Y _{e,sRGB}	83.64	-6.73	86.08	86.34	0.2136	-0.0439	94.4	32 563	13 465
G _{e,sRGB}	85.14	-67.32	24.36	71.59	0.1835	-0.0757	160.1	21 507	-1 507c
B _{e,sRGB}	59.21	-0.38	-52.43	52.43	0.2168	-0.1236	269.5	13 465	33 567

3-001530-L0

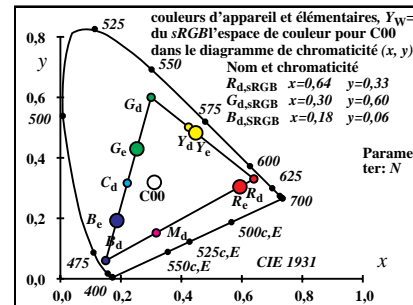
TF420-5N_6

couleurs d'appareil et élémentaires du sRGB l'espace de couleur pour C00, $Y_{w,10}=100$

CodeD65	L* ₁₀₀	a* ₁₀₀	b* ₁₀₀	C* _{ab}	a'	b'	h_{ab}	i_d, λ_d^*	i_c, λ_c^*
R _{d,sRGB}	54.08	78.69	70.63	105.74	0.2732	-0.0376	41.9	-1 472c	14 472
Y _{d,sRGB}	96.91	-22.68	98.68	101.26	0.207	-0.0443	102.9	31 555	12 463
G _{d,sRGB}	87.08	-89.1	86.52	124.2	0.1739	-0.046	135.8	25 529	7 436
C _{d,sRGB}	90.76	-48.27	-15.09	50.57	0.1945	-0.0951	197.3	15 477	-1 477c
B _{d,sRGB}	33.54	79.53	-108.73	134.71	0.2972	-0.1976	306.1	10 453	27 538
M _{d,sRGB}	61.5	97.43	-60.71	114.8	0.2799	-0.1271	328.0	-1 518c	23 518
R _{e,sRGB}	50.92	75.83	39.93	85.7	0.2737	-0.0582	27.7	-1 474c	14 474
Y _{e,sRGB}	83.64	-6.78	87.98	88.24	0.2137	-0.0439	94.4	32 563	13 465
G _{e,sRGB}	85.14	-67.85	24.89	72.28	0.1835	-0.0757	159.8	21 507	-1 507c
B _{e,sRGB}	59.21	-0.38	-53.58	53.58	0.2168	-0.1236	269.5	13 465	33 567

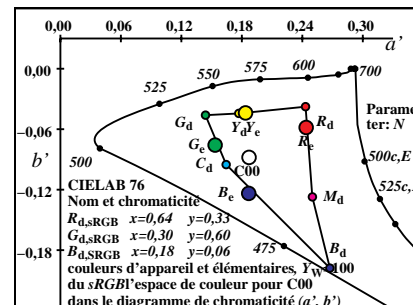
3-001530-L0

TF420-7N_6



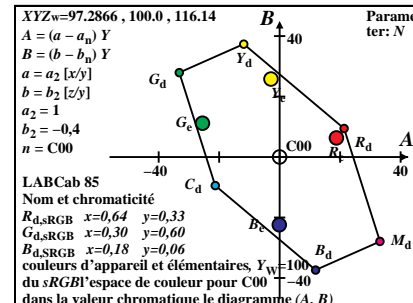
3-001530-L0

TF421-IN_6



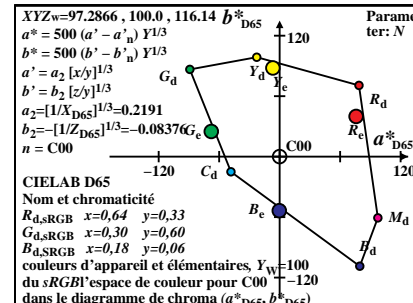
3-001530-L0

TF421-3N_6



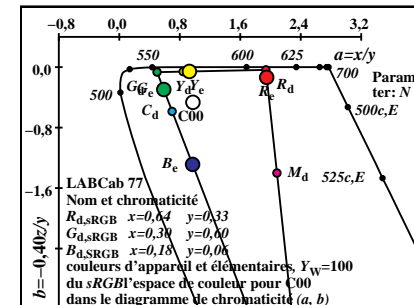
3-001530-L0

TF421-5N_6



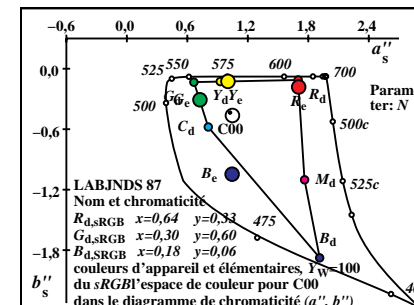
3-001530-L0

TF421-7N_6



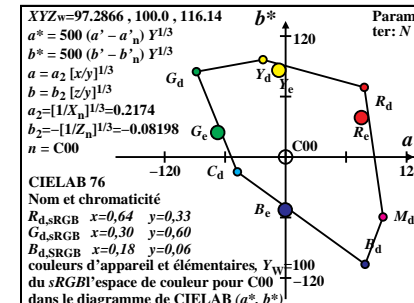
3-001530-L0

TF421-2N_6



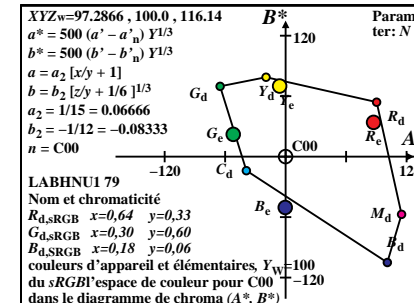
3-001530-L0

TF421-4N_6



3-001530-L0

TF421-6N_6



3-001530-L0

TF421-8N_6

couleurs d'appareil et élémentaires du sRGB l'espace de couleur pour P00, $Y_{w,10}=100$

Code	X100	Y100	Z100	x	y	z	h_{xy}	i_d, λ_d	i_c, λ_c
R _{d,sRGB}	56.72	29.24	2.65	0.64	0.33	0.03	355.3	41 609	16 482
Y _{d,sRGB}	89.52	94.86	13.59	0.4521	0.4791	0.0686	54.1	33 565	10 452
G _{d,sRGB}	32.8	65.61	10.93	0.3	0.6	0.0999	103.8	26 533	-1 533c
C _{d,sRGB}	45.65	70.75	78.59	0.2341	0.3628	0.403	175.3	16 482	41 609
B _{d,sRGB}	12.84	5.13	67.65	0.15	0.06	0.79	234.2	10 452	33 565
M _{d,sRGB}	69.56	34.38	70.31	0.3991	0.1973	0.4034	283.8	-1 533c	26 533
R _{e,sRGB}	37.43	19.19	6.44	0.5935	0.3043	0.1021	348.2	58 691	16 484
Y _{e,sRGB}	58.8	63.38	9.13	0.4478	0.4826	0.0695	56.2	32 564	9 445
G _{e,sRGB}	38.98	66.27	49.0	0.2526	0.4296	0.3176	144.5	18 491	-1 491c
B _{e,sRGB}	26.41	27.25	87.68	0.1868	0.1927	0.6203	222.5	13 466	34 570

3-001630-L0

TF420-1N_7

couleurs d'appareil et élémentaires du sRGB l'espace de couleur pour P00, $Y_{w,10}=100$

Code	Y100	A100	B100	C _{AB}	a	b	h_{AB}	i_d, λ_d	i_c, λ_c
R _{d,sRGB}	29.24	26.77	8.44	28.07	1.9393	-0.0363	17.4	42 611	17 485
Y _{d,sRGB}	94.86	-7.58	25.39	26.5	0.9437	-0.0573	106.6	32 564	-1 564c
G _{d,sRGB}	65.61	-34.36	16.95	38.31	0.4999	-0.0666	153.7	25 529	-1 529c
C _{d,sRGB}	70.75	-26.77	-8.44	28.07	0.6452	-0.4443	197.4	16 481	37 589
B _{d,sRGB}	5.13	7.58	-25.39	26.5	2.4999	-5.2665	286.6	10 452	33 567
M _{d,sRGB}	34.38	34.36	-16.95	38.31	2.0231	-0.8179	333.7	-1 550c	30 550
R _{e,sRGB}	19.19	17.78	3.66	18.15	1.9502	-0.1343	11.6	-1 487c	17 487
Y _{e,sRGB}	63.38	-6.08	16.94	18.0	0.9278	-0.0576	109.7	32 563	-1 563c
G _{e,sRGB}	66.27	-28.87	1.93	28.93	0.5881	-0.2957	176.1	17 488	-1 488c
B _{e,sRGB}	27.25	-1.48	-26.21	26.25	0.9694	-1.2869	266.7	13 466	34 571

3-001630-L0

TF420-3N_7

couleurs d'appareil et élémentaires du sRGB l'espace de couleur pour P00, $Y_{w,10}=100$

Code	L*100	a*100	b*100	C* _{ab}	a'	b'	h_{ab}	i_d, λ^*_d	i_c, λ^*_c
R _{d,sRGB}	61.0	78.75	68.73	104.53	0.2732	-0.0376	41.1	-1 473c	14 473
Y _{d,sRGB}	97.98	-13.13	86.29	87.28	0.2148	-0.0438	98.6	32 562	12 463
G _{d,sRGB}	84.8	-92.3	71.28	116.62	0.1738	-0.046	142.3	25 529	-1 529c
C _{d,sRGB}	87.36	-63.53	-19.57	66.47	0.1893	-0.0867	197.1	15 478	-1 478c
B _{d,sRGB}	27.15	64.38	-113.76	130.71	0.2971	-0.1976	299.5	11 455	29 547
M _{d,sRGB}	65.27	89.28	-50.46	102.55	0.277	-0.1062	330.5	-1 522c	24 522
R _{e,sRGB}	50.92	69.1	29.41	75.1	0.2737	-0.0582	23.0	-1 476c	15 476
Y _{e,sRGB}	83.64	-13.85	75.25	76.51	0.2136	-0.0439	100.4	32 561	12 463
G _{e,sRGB}	85.14	-73.53	5.39	73.73	0.1835	-0.0757	175.8	19 495	-1 495c
B _{e,sRGB}	59.21	-5.83	-75.46	75.69	0.2168	-0.1236	265.5	13 466	34 572

3-001630-L0

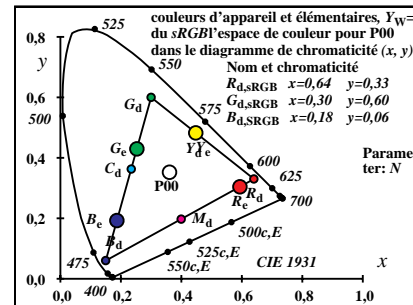
TF420-5N_7

couleurs d'appareil et élémentaires du sRGB l'espace de couleur pour P00, $Y_{w,10}=100$

CodeD65	L*100	a*100	b*100	C* _{ab}	a'	b'	h_{ab}	i_d, λ^*_d	i_c, λ^*_c
R _{d,sRGB}	61.0	80.74	62.39	102.04	0.2732	-0.0376	37.6	-1 473c	14 473
Y _{d,sRGB}	97.98	-13.46	78.28	79.43	0.2149	-0.0438	99.7	32 561	12 463
G _{d,sRGB}	84.8	-94.63	64.66	114.62	0.1739	-0.046	145.6	25 526	-1 526c
C _{d,sRGB}	87.36	-65.13	-17.75	67.5	0.1893	-0.0867	195.2	15 479	-1 479c
B _{d,sRGB}	27.15	66.05	-103.22	122.54	0.2972	-0.1976	302.6	10 453	29 545
M _{d,sRGB}	65.27	91.53	-45.78	102.34	0.277	-0.1063	333.4	-1 519c	23 519
R _{e,sRGB}	50.92	70.85	26.69	75.71	0.2737	-0.0582	20.6	-1 477c	15 477
Y _{e,sRGB}	83.64	-14.2	68.27	69.73	0.2137	-0.0439	101.7	32 560	12 462
G _{e,sRGB}	85.14	-75.38	4.89	75.54	0.1835	-0.0757	176.2	18 494	-1 494c
B _{e,sRGB}	59.21	-5.98	-68.45	68.71	0.2168	-0.1236	265.0	13 466	34 573

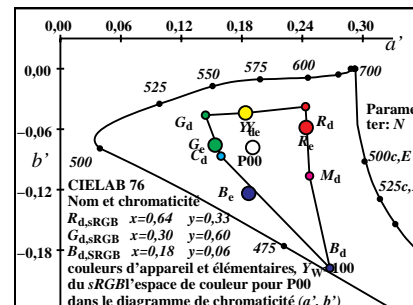
3-001630-L0

TF420-7N_7



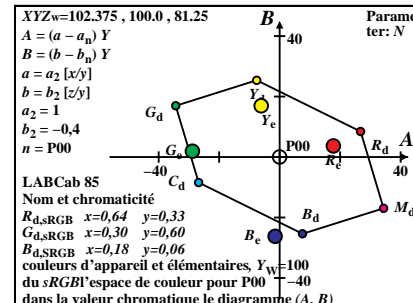
3-001630-L0

TF421-1N_7



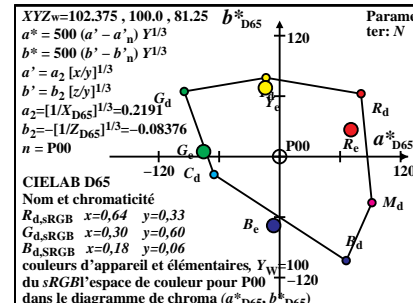
3-001630-L0

TF421-3N_7



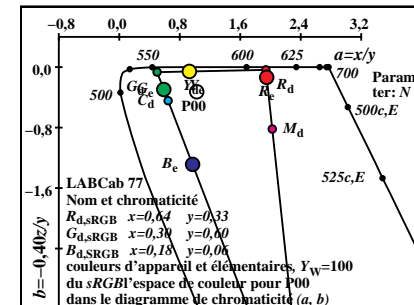
3-001630-L0

TF421-5N_7



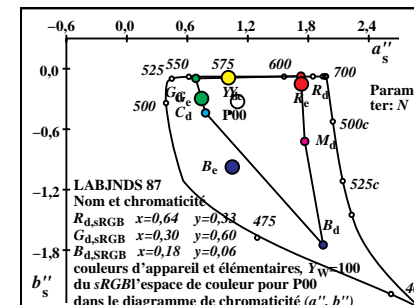
3-001630-L0

TF421-7N_7



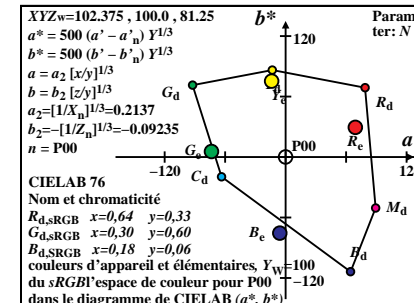
3-001630-L0

TF421-2N_7



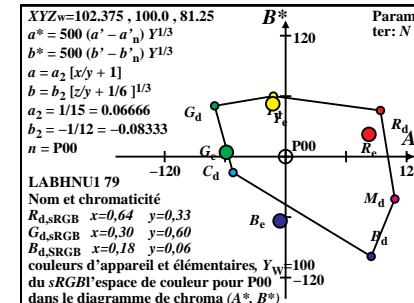
3-001630-L0

TF421-4N_7



3-001630-L0

TF421-6N_7



3-001630-L0

TF421-8N_7

couleurs d'appareil et élémentaires du sRGB l'espace de couleur pour Q00, $Y_{w,10}=100$

Code	X100	Y100	Z100	x	y	z	h_{xy}	i_d, λ_d	i_c, λ_c
R _{d,sRGB}	42.76	22.04	2.0	0.64	0.33	0.03	2.3	41 608	15 478
Y _{d,sRGB}	77.75	92.04	13.67	0.4238	0.5016	0.0745	58.1	32 560	10 451
G _{d,sRGB}	34.99	69.99	11.66	0.3	0.6	0.0999	91.7	27 537	-1 537c
C _{d,sRGB}	54.88	77.95	116.41	0.2202	0.3127	0.467	182.3	15 478	41 608
B _{d,sRGB}	19.89	7.95	104.75	0.15	0.06	0.79	238.2	10 451	32 560
M _{d,sRGB}	62.65	30.0	106.75	0.3141	0.1504	0.5353	271.8	-1 537c	27 537
R _{e,sRGB}	37.43	19.19	6.44	0.5935	0.3043	0.1021	357.5	45 629	16 480
Y _{e,sRGB}	58.8	63.38	9.13	0.4478	0.4826	0.0695	50.1	33 565	12 462
G _{e,sRGB}	38.98	66.27	49.0	0.2526	0.4296	0.3176	116.3	21 506	-1 506c
B _{e,sRGB}	26.41	27.25	87.68	0.1868	0.1927	0.6203	225.3	13 465	33 567

3-001730-L0

TF420-1N_8

couleurs d'appareil et élémentaires du sRGB l'espace de couleur pour Q00, $Y_{w,10}=100$

Code	Y100	A100	B100	C _{AB}	a	b	h_{AB}	i_d, λ_d	i_c, λ_c
R _{d,sRGB}	22.04	21.23	9.64	23.31	1.9393	-0.0363	24.4	41 607	15 477
Y _{d,sRGB}	92.04	-12.12	38.13	40.01	0.8448	-0.0594	107.6	32 561	11 459
G _{d,sRGB}	69.99	-33.35	28.48	43.86	0.4999	-0.0666	139.4	27 538	-1 538c
C _{d,sRGB}	77.95	-21.23	-9.64	23.31	0.7041	-0.5974	204.4	16 480	-1 480c
B _{d,sRGB}	7.95	12.12	-38.13	40.01	2.4999	-5.2666	287.6	10 451	31 558
M _{d,sRGB}	30.0	33.35	-28.48	43.86	2.088	-1.4231	319.4	-1 524c	24 524
R _{e,sRGB}	19.19	18.69	6.51	19.79	1.9502	-0.1343	19.2	44 624	15 478
Y _{e,sRGB}	63.38	-3.08	26.37	26.55	0.9278	-0.0576	96.6	33 565	12 464
G _{e,sRGB}	66.27	-25.74	11.79	28.31	0.5881	-0.2957	155.3	23 518	-1 518c
B _{e,sRGB}	27.25	-0.19	-22.16	22.16	0.9694	-1.2869	269.5	13 465	33 565

3-001730-L0

TF420-3N_8

couleurs d'appareil et élémentaires du sRGB l'espace de couleur pour Q00, $Y_{w,10}=100$

Code	L*100	a*100	b*100	C* _{ab}	a'	b'	h_{ab}	i_d, λ_d^*	i_c, λ_c^*
R _{d,sRGB}	54.09	77.61	69.39	104.1	0.2732	-0.0376	41.8	-1 472c	14 472
Y _{d,sRGB}	96.84	-22.92	97.14	99.81	0.2071	-0.0443	103.2	31 555	12 463
G _{d,sRGB}	86.99	-88.76	85.18	123.03	0.1738	-0.046	136.1	25 529	7 435
C _{d,sRGB}	90.76	-47.51	-14.79	49.76	0.1949	-0.0957	197.2	15 476	-1 476c
B _{d,sRGB}	33.91	79.09	-105.93	132.21	0.2971	-0.1976	306.7	10 452	27 537
M _{d,sRGB}	61.66	96.49	-59.3	113.26	0.2799	-0.1278	328.4	-1 518c	23 518
R _{e,sRGB}	50.92	74.77	39.54	84.59	0.2737	-0.0582	27.8	-1 474c	14 474
Y _{e,sRGB}	83.64	-7.25	86.63	86.93	0.2136	-0.0439	94.7	32 563	12 464
G _{e,sRGB}	85.14	-67.78	25.33	72.36	0.1835	-0.0757	159.5	21 508	-1 508c
B _{e,sRGB}	59.21	-0.78	-51.25	51.26	0.2168	-0.1236	269.1	13 465	33 568

3-001730-L0

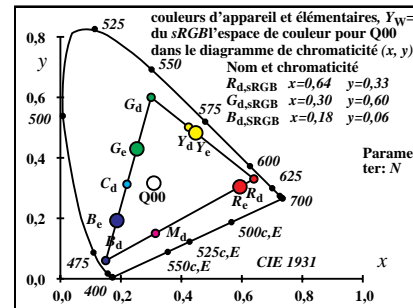
TF420-5N_8

couleurs d'appareil et élémentaires du sRGB l'espace de couleur pour Q00, $Y_{w,10}=100$

CodeD65	L*100	a*100	b*100	C* _{ab}	a'	b'	h_{ab}	i_d, λ_d^*	i_c, λ_c^*
R _{d,sRGB}	54.09	78.33	71.44	106.02	0.2732	-0.0376	42.3	-1 472c	14 472
Y _{d,sRGB}	96.84	-23.13	99.92	102.56	0.2071	-0.0443	103.0	31 555	12 463
G _{d,sRGB}	86.99	-89.58	87.62	125.31	0.1739	-0.046	135.6	25 529	7 437
C _{d,sRGB}	90.76	-47.95	-15.22	50.31	0.1949	-0.0957	197.6	15 476	-1 476c
B _{d,sRGB}	33.91	79.85	-108.97	135.1	0.2972	-0.1976	306.2	10 453	27 538
M _{d,sRGB}	61.66	97.38	-60.99	114.9	0.28	-0.1278	327.9	-1 518c	23 518
R _{e,sRGB}	50.92	75.47	40.69	85.74	0.2737	-0.0582	28.3	-1 474c	14 474
Y _{e,sRGB}	83.64	-7.32	89.12	89.42	0.2137	-0.0439	94.6	32 563	12 464
G _{e,sRGB}	85.14	-68.4	26.05	73.2	0.1835	-0.0757	159.1	21 508	-1 508c
B _{e,sRGB}	59.21	-0.79	-52.72	52.72	0.2168	-0.1236	269.1	13 465	33 568

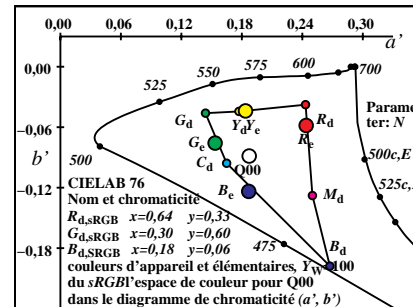
3-001730-L0

TF420-7N_8



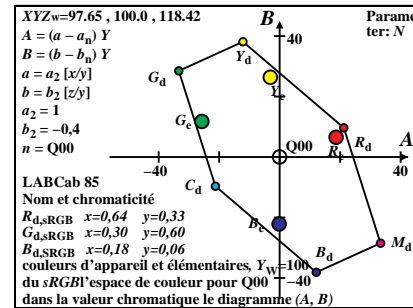
3-001730-L0

TF421-1N_8



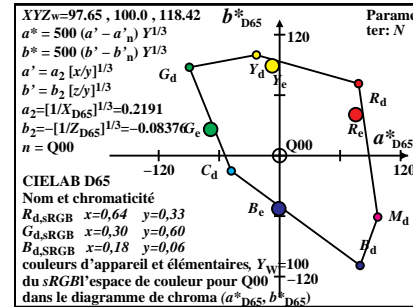
3-001730-L0

TF421-3N_8



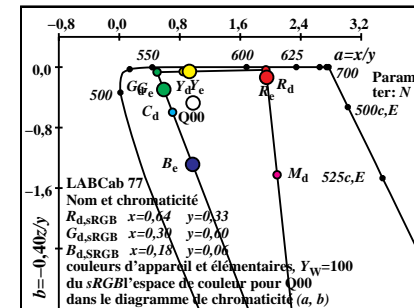
3-001730-L0

TF421-5N_8



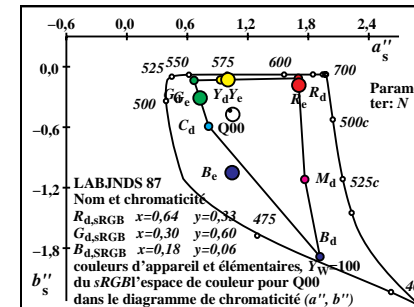
3-001730-L0

TF421-7N_8



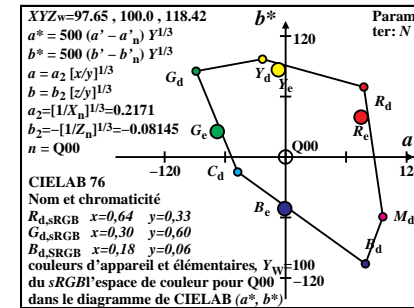
3-001730-L0

TF421-2N_8



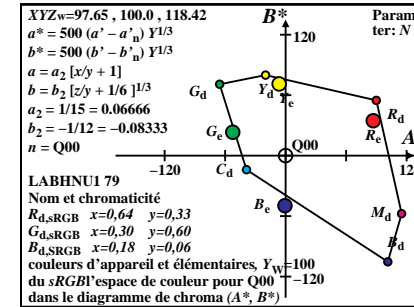
3-001730-L0

TF421-4N_8



3-001730-L0

TF421-6N_8



3-001730-L0

TF421-8N_8